

核反応の不定性が νp プロセスに与える影響

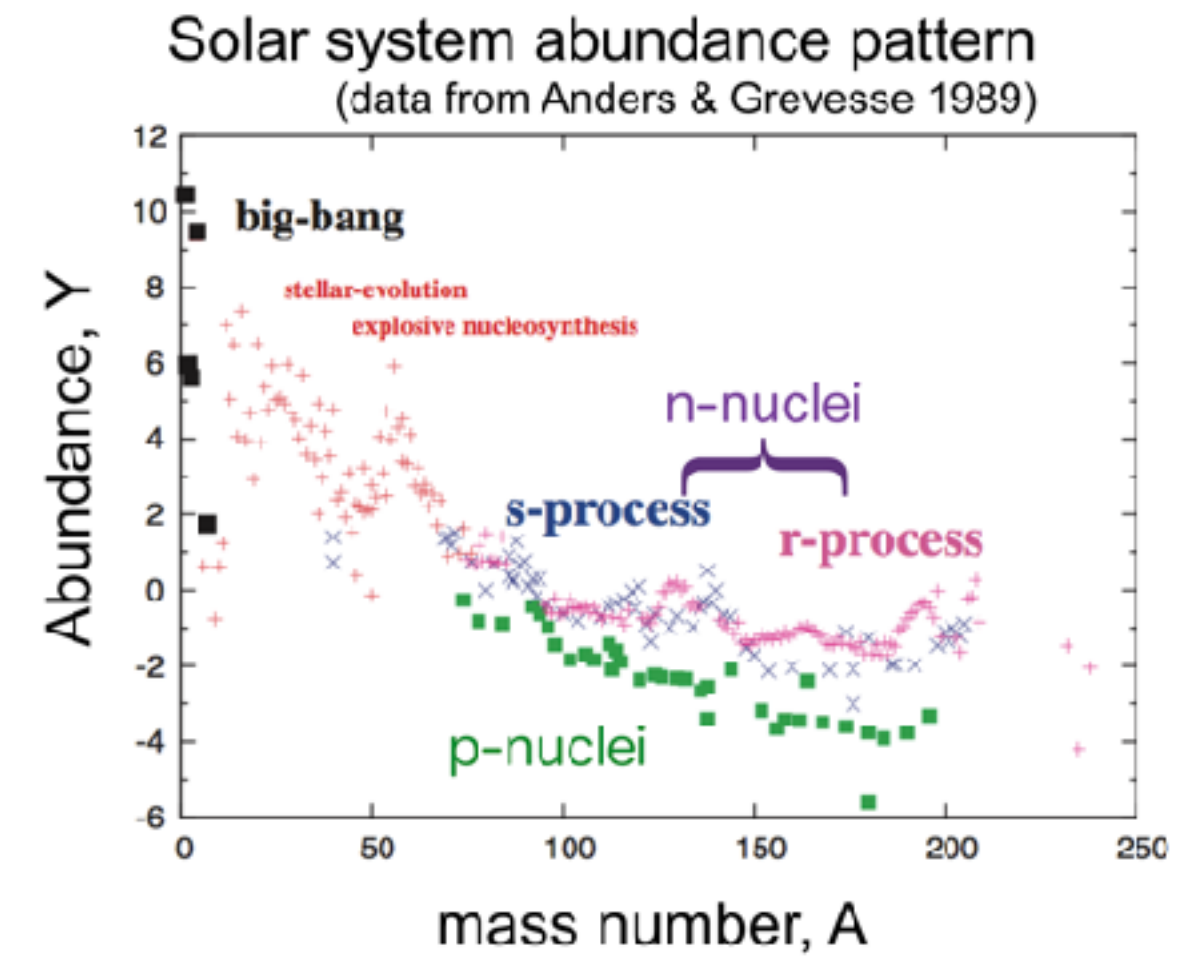
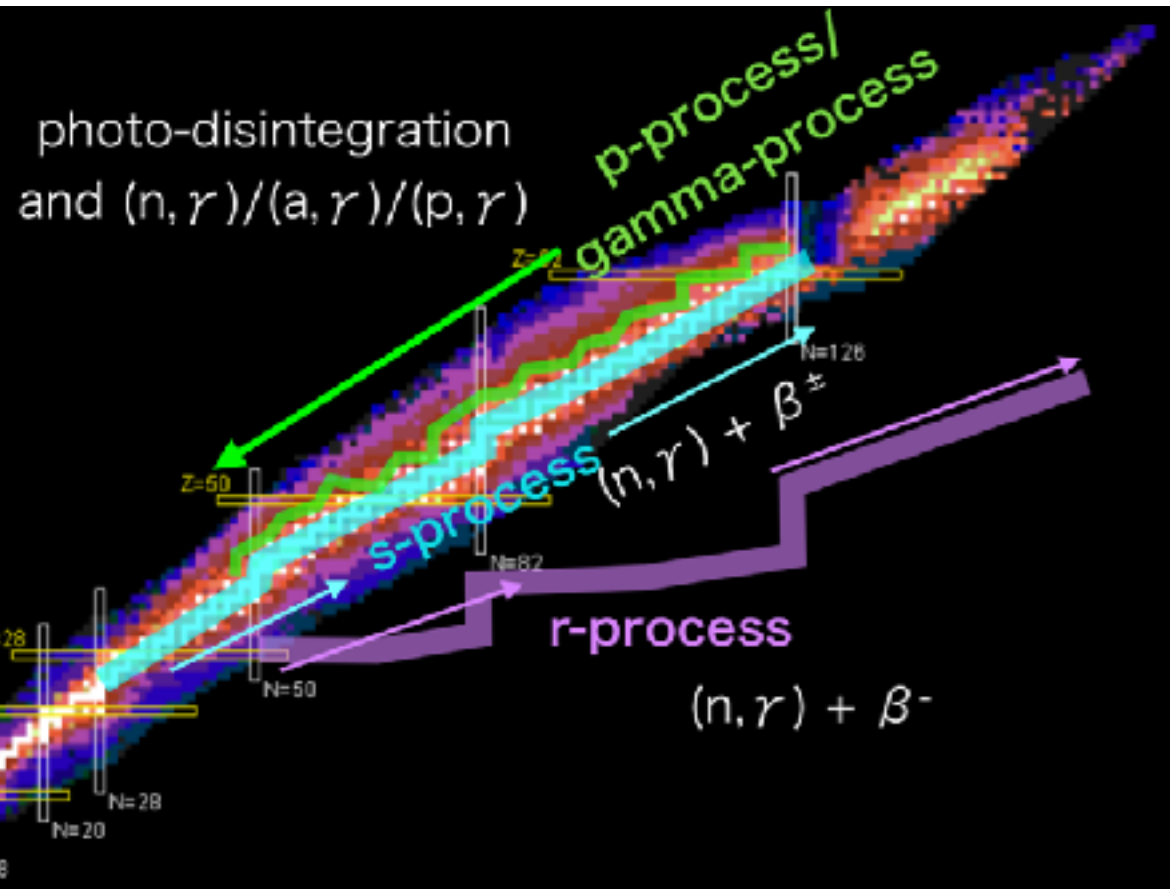
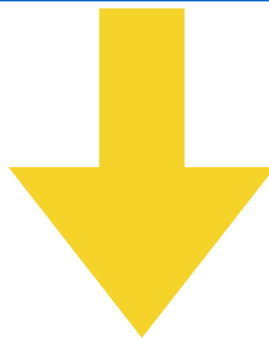
西村 信哉

京都大学・基礎研

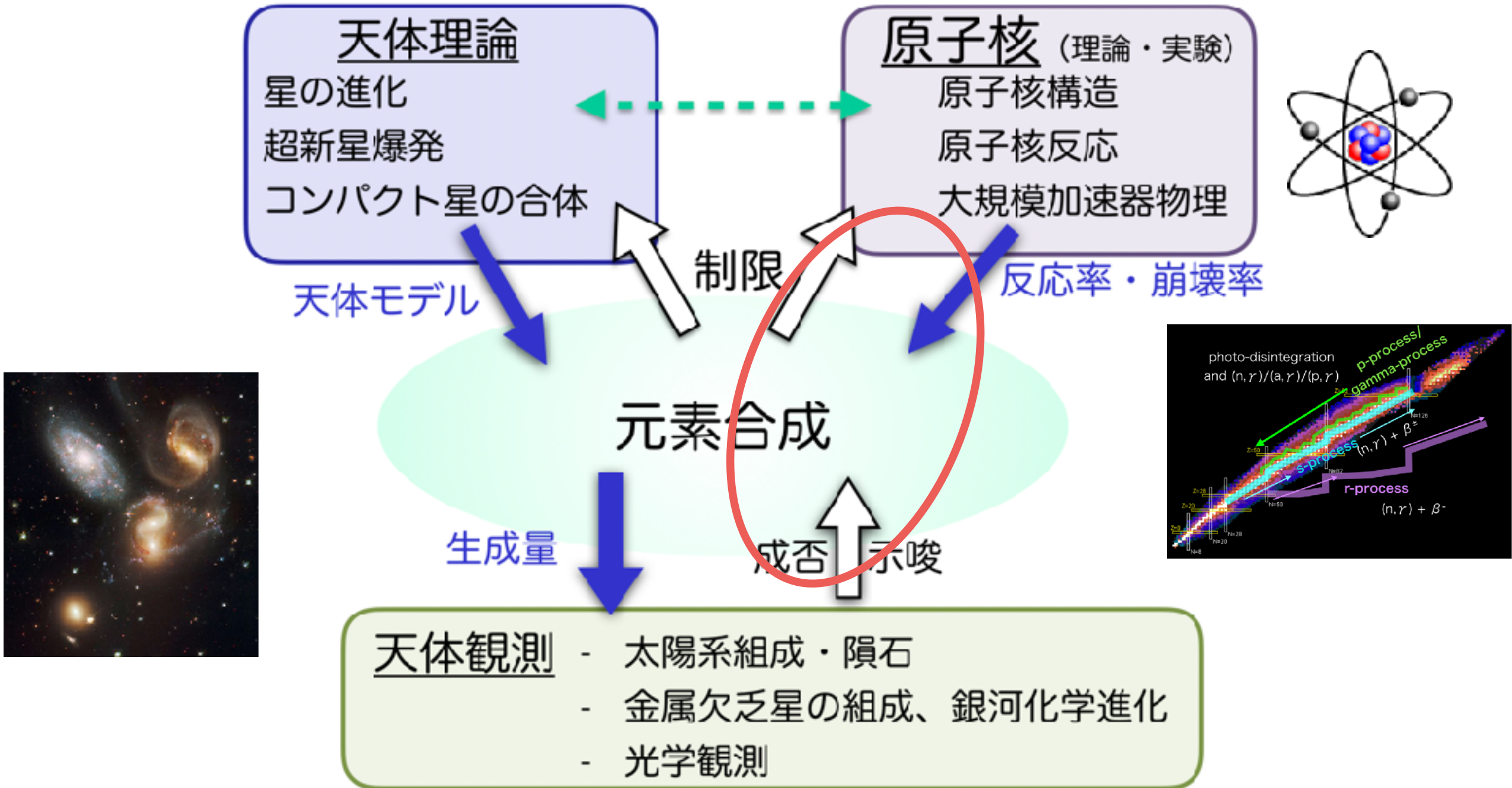
共同研究者

T. Rauscher (Basel), R. Hirschi (Keele), G. Cescutti (INAF),
A. St. J. Murphy (Edinburgh), C. Fröhlich (NCSU)

核反応の不定性が 「重元素合成」に与える影響



元素合成を軸にミクロとマクロをつなぐ



- 原子核の不定性が元素合成に与える影響
- (天体) 観測量に対して重要な反応・崩壊率の決定

今後詳細に研究すべき

これまでの研究対象

- sプロセス

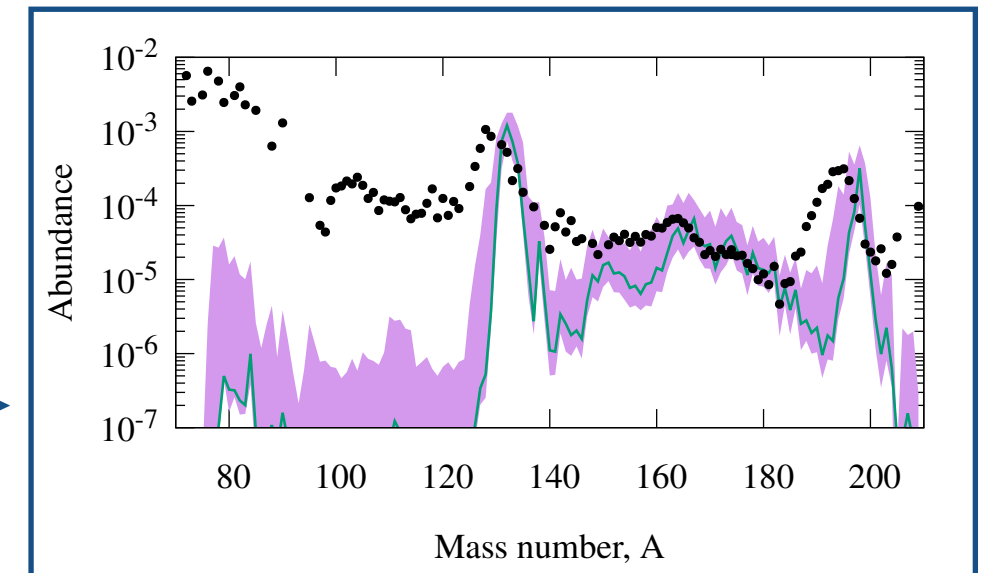
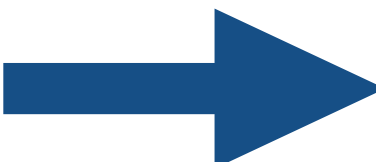
- 安定核線上の中性子捕獲と β 崩壊
- weak s: 大質量星 (NN+2017)
- main s: 小質量星 (Cescutti, Hirsch, NN+2018)
- ガンマ・プロセス (伝統的に「pプロセス」)
- 陽子過剰不安定核のあらゆる捕獲反応 (+光分解)
- 重力崩壊型超新星 (Rauscher, NN+2016)
- 熱核反応型 (Ia型) 超新星 (NN+2018)

↓

- νp プロセス (本研究)

不定性大

- rプロセス (準備中)



文献

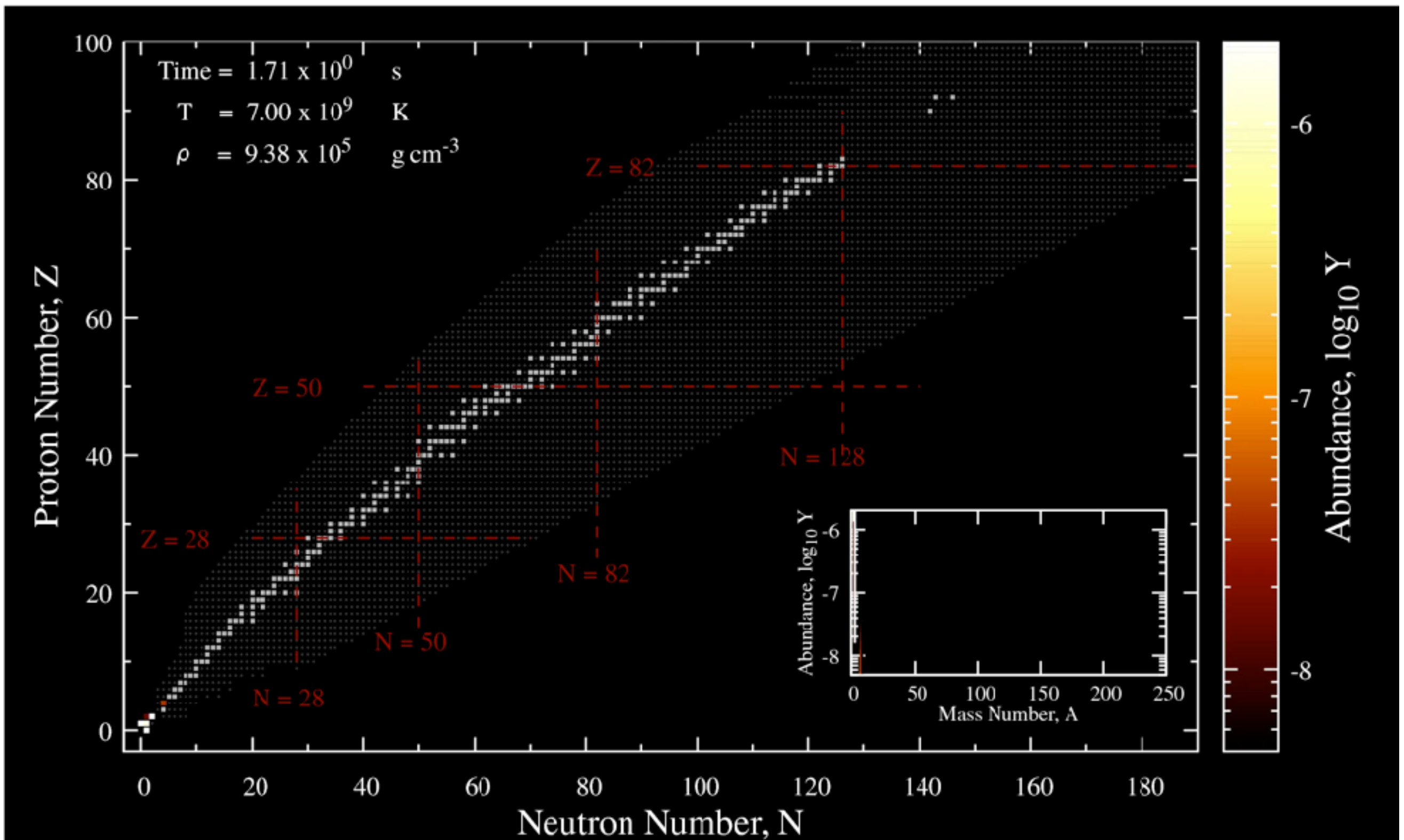
- Rauscher, NN+2016, MNRAS 463
- NN+2018, MNRAS 474
- NN+2017, MNRAS 469
- Cescutti, Hirschi, NN+2018, MNRAS 478

Contents

- イントロのその前に：
- イントロ：p核の起源と νp プロセス
- 研究内容：核反応の不定性の νp プロセスへの影響
 - 天体モデル： νp プロセスの簡易モデル
 - 不定性解析：核反応の不定性とその影響
 - 計算結果：
 - νp プロセス核の重要反応リスト
 - (種核生成プロセスで重要な反応)
- まとめと展望

イントロ：p核の起源と νp プロセス

vpプロセスとは



νp プロセスとは

- ・一部の鉄族元素や「軽いp核」の起源
- ・超新星コアのニュートリノが関与
→ 爆発メカニズムへの「制限」

天文学

- ・天体サイトが未解明・超新星のコア付近の進化に直結

隕石

- ・天然同位体比の解明（太陽系、太陽系外）

原子核物理

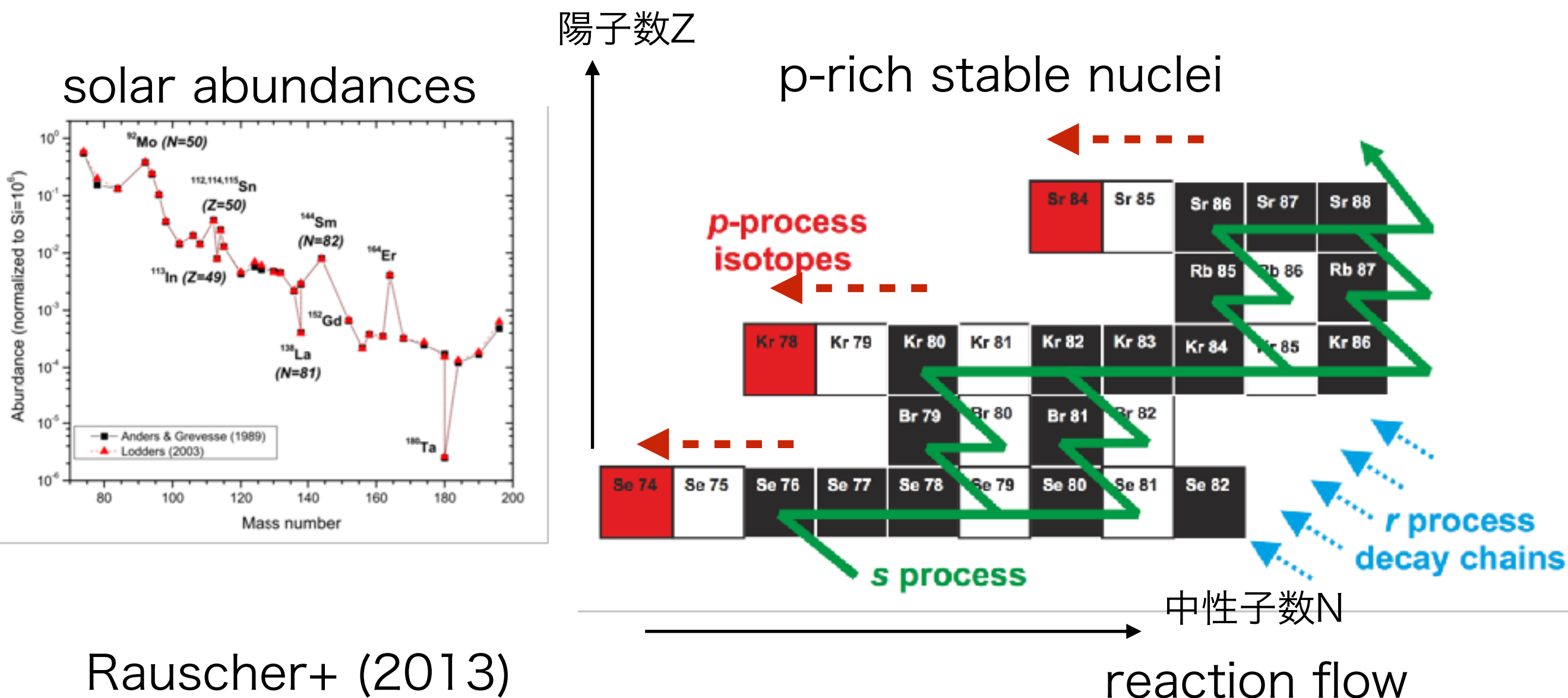
- ・鉄より重い陽子過剰核（実験的に得られる）の核反応

- ・質量等原子核の基本量→実験による検証

- ・不安定核の反応率理論（モデル）の検証

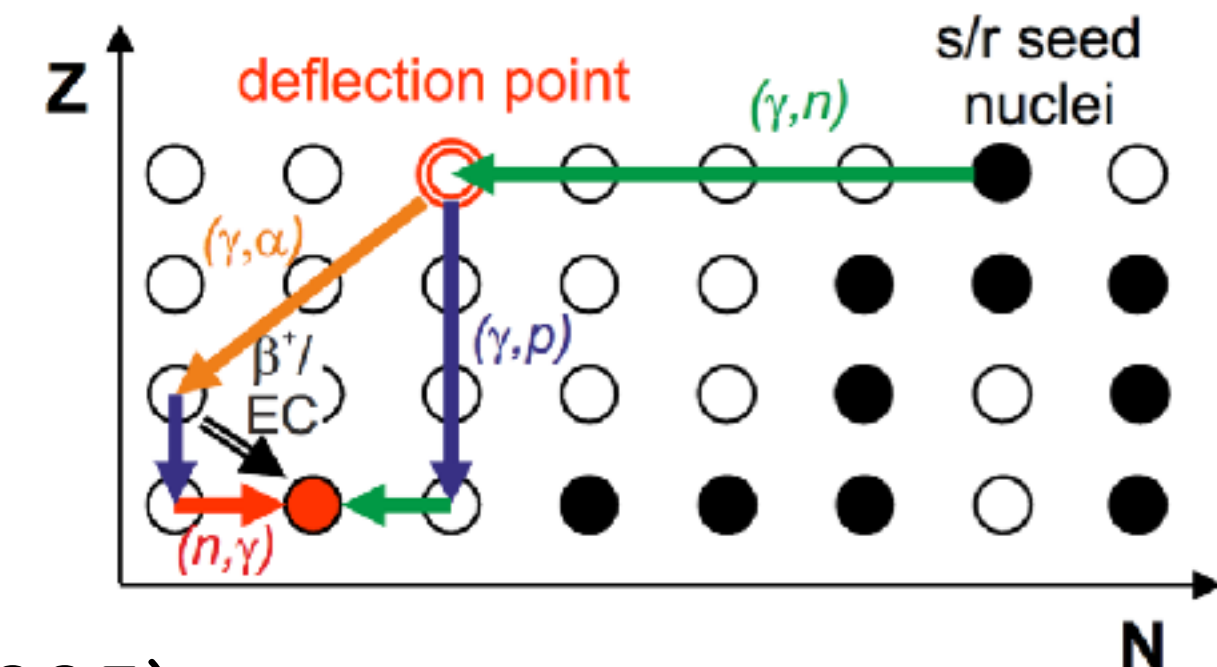
p核の起源：p-rich (n-deficient) 核の存在

- ・35種類の“陽子過剰”安定核
- ・存在量は希少（大部分が同位体比で1%以下）
- ・中性子捕獲では生成されない？
(sプロセス経路から陽子過剰側に離れている)

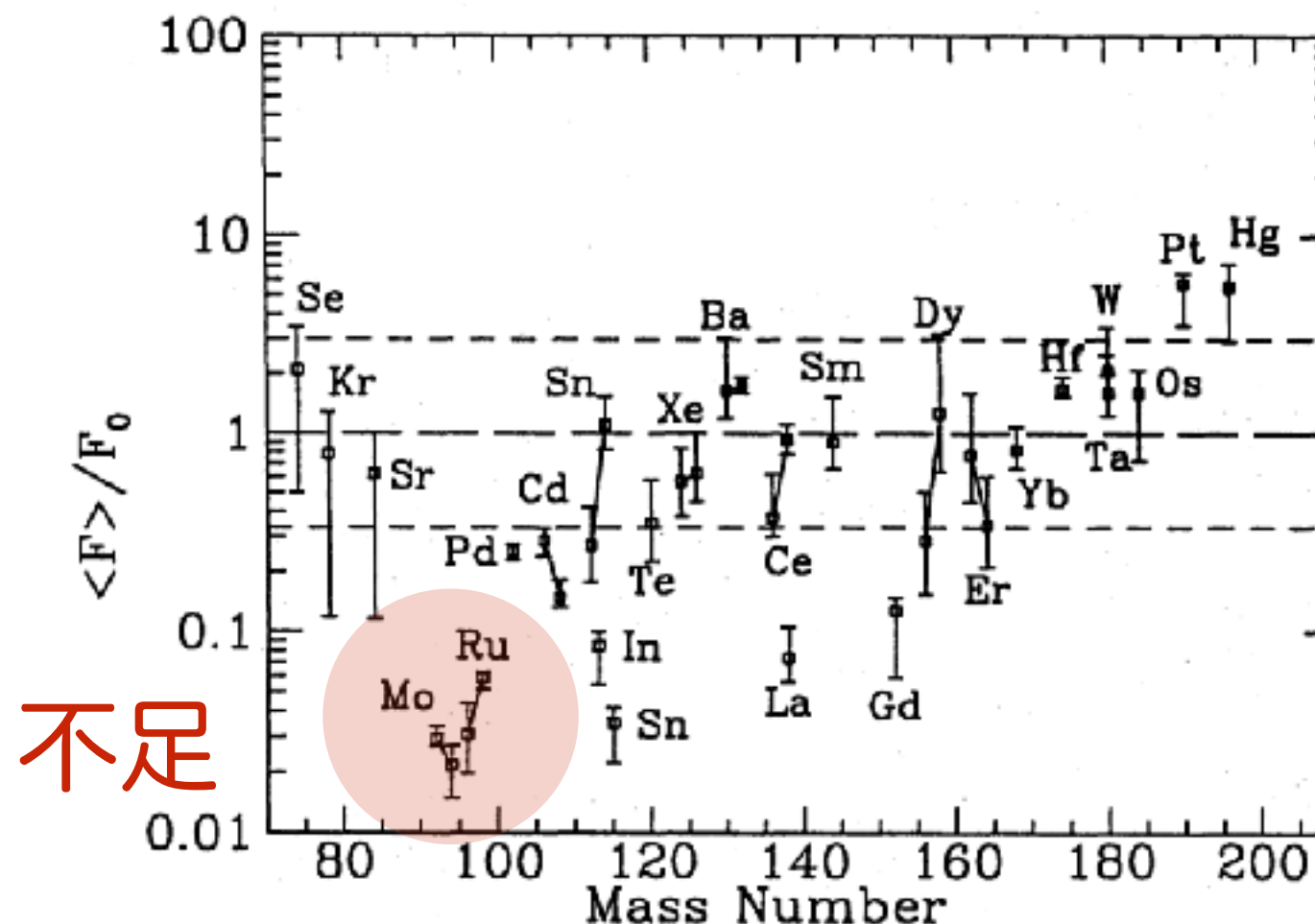


p核の起源：ガンマプロセス

- すでに存在しているs, r核を「壊す」
- 光分解 ($T_9 = 2\text{--}3 \text{ GK}$)
- 超新星爆発による衝撃波伝搬
 - 酸素・ネオン層 ($\sim 10,000 \text{ km}$)



様々な星のモデルを考慮 (Rayet+1995)

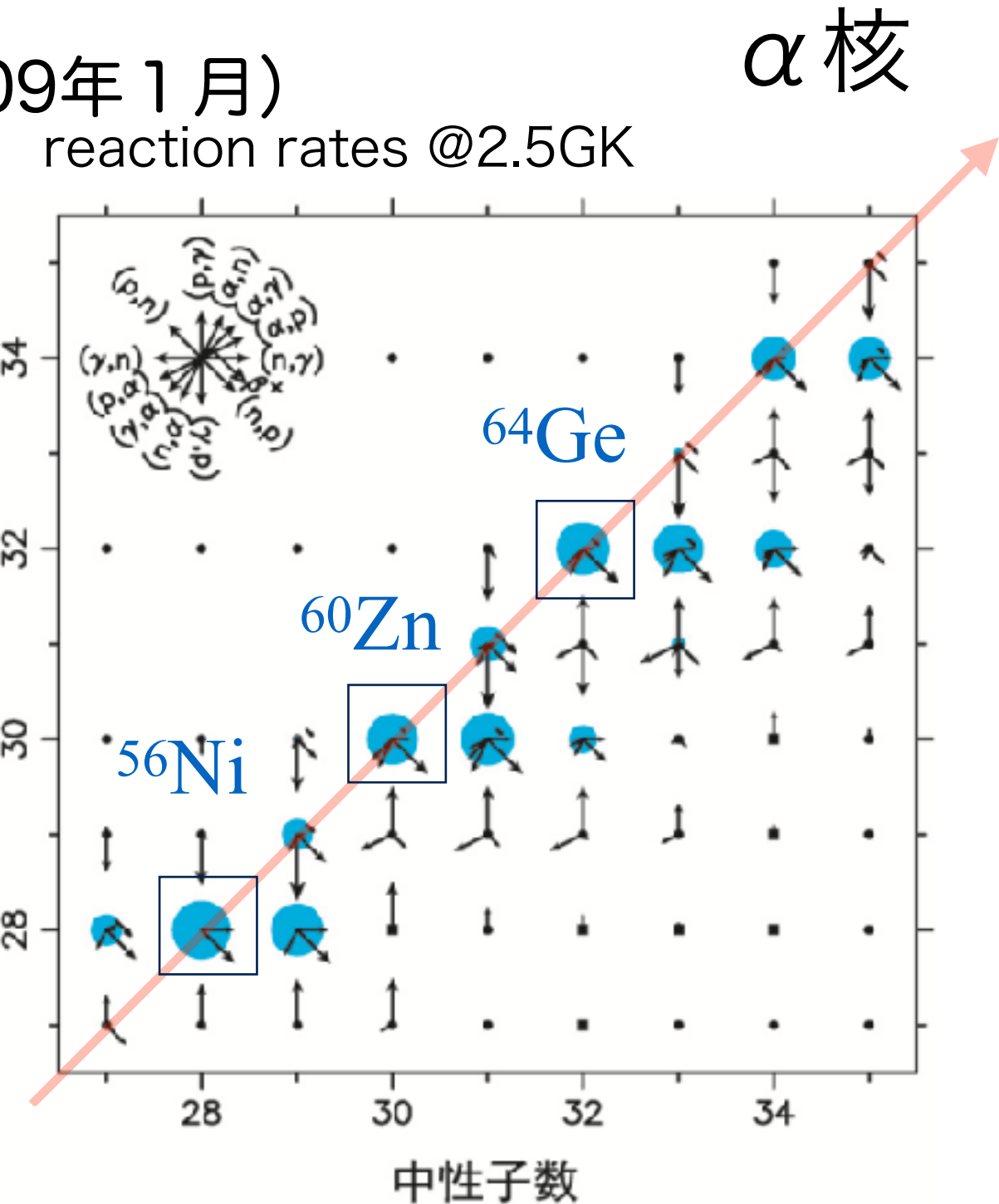
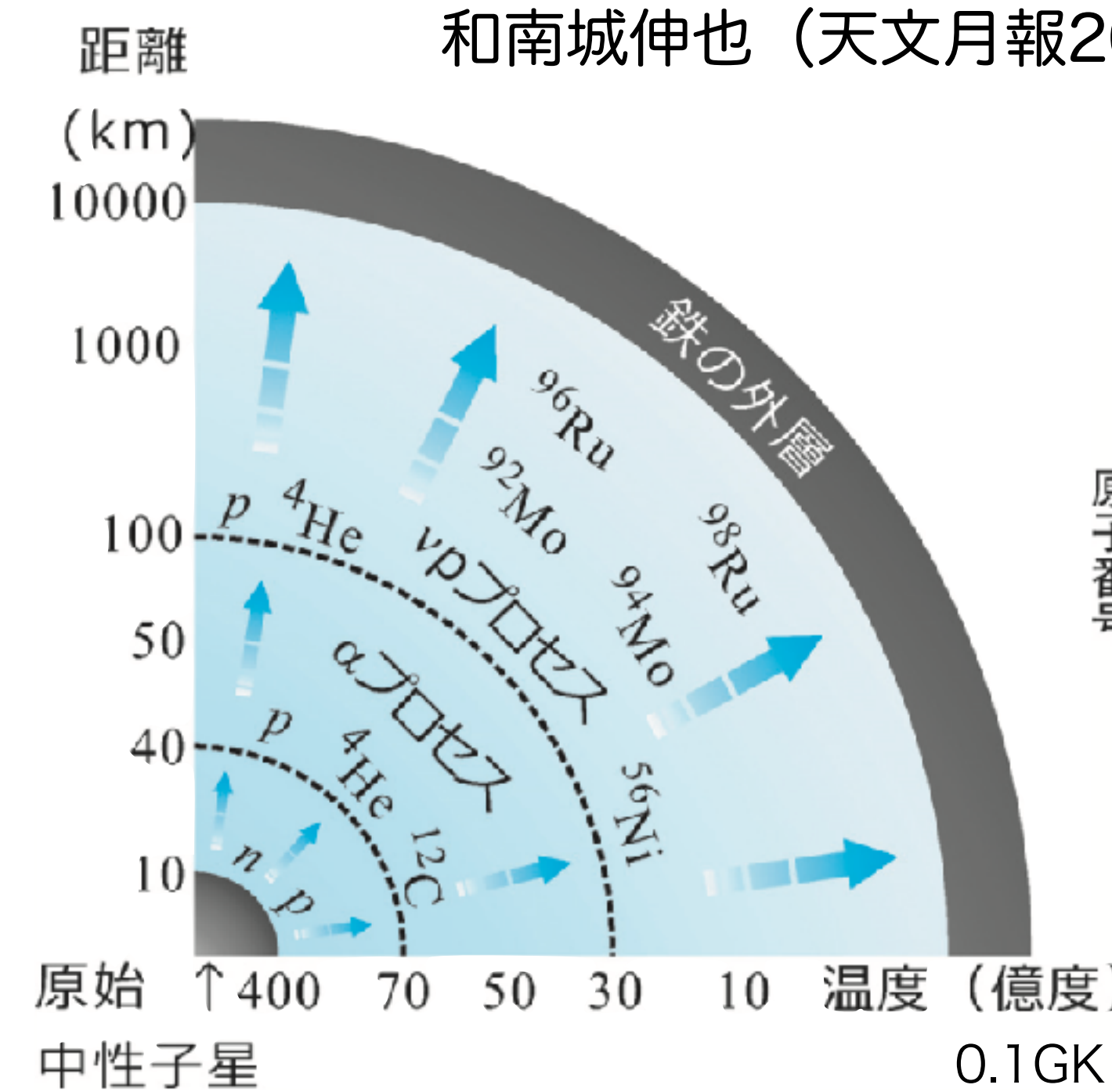


核反応の不定性?
→ Mo, Ruの不足は解消
できなさそう
(e.g., Rauscher+2016; NN+2018)

p核の起源：p-rich (n-deficient) 核の存在

- (歴史的) pプロセス (B²FH)
 - 超新星爆発中にpを生成し、s, r核から生成；実現不可能
- ガンマプロセス (gプロセス)
 - 大部分（30核種）の起源だが、いくつかは生成量不足
- sプロセス (やrプロセス)
 - p過剰側への（僅かな）ブランチ；
 ^{164}Er , ^{152}Gd , ^{180}Ta (^{113}In , ^{115}In も可能性あり)
- ν プロセス
 - 超新星時のニュートリノによる近傍核の破碎； ^{138}La , ^{180}Ta
- (古典的) rpプロセス
 - X線バースト天体（中性子星への水素の降着）での「速い陽子捕獲」；化学進化への寄与なし
- νp プロセス
 - 超新星コア付近（などの）での陽子過剰物質での速い陽子捕獲； $^{92, 94}\text{Mo}$, $^{94, 96}\text{Ru}$ ；軽いp核の起源？

νp プロセス: ニュートリノ反応によるrpプロセス



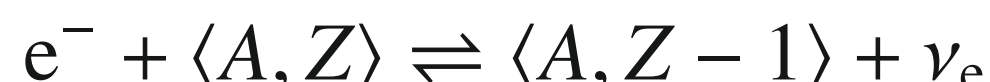
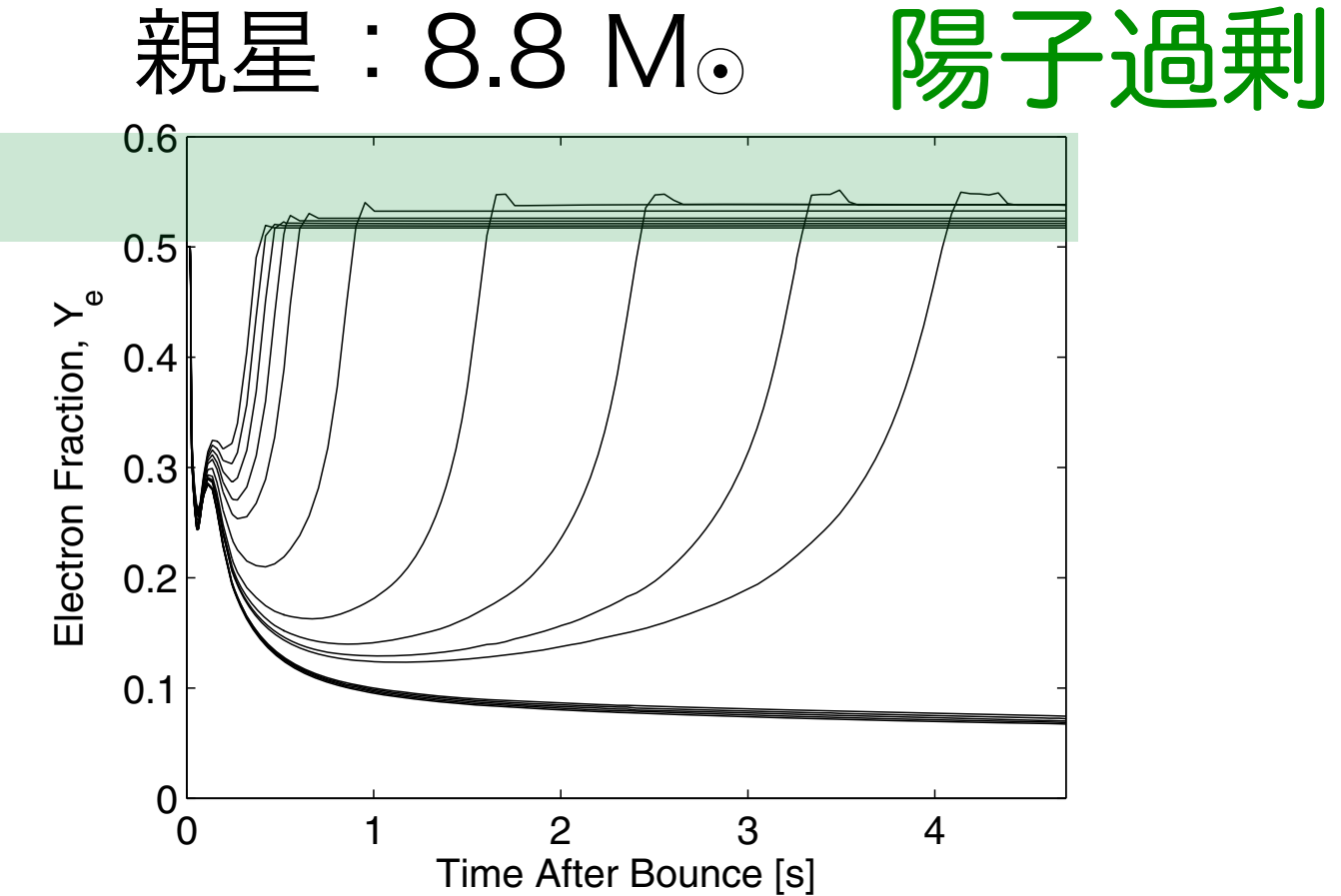
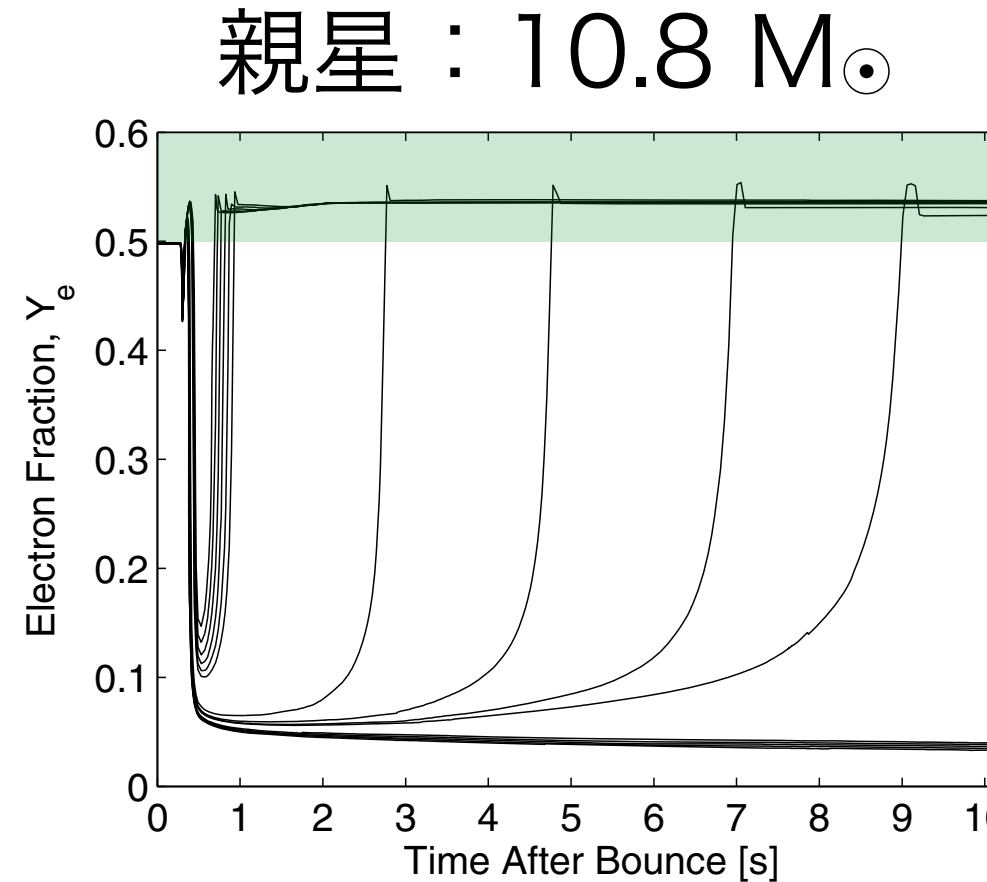
- 超新星の陽子過剰な環境
- 速い陽子捕獲によりより重い元素を生成する
- 種核は爆発的元素合成で作られた鉄族元素 (^{56}Ni)

原始中性子星からのニュートリノ駆動風

詳細な物理過程を考慮した超新星爆発シミュレーション

(1次元球対称) で原始中性子星の進化を計算

Fischer et al. 2010



伝統的に rプロセスサイト
として期待されていたが、
むしろ 陽子過剰 であった

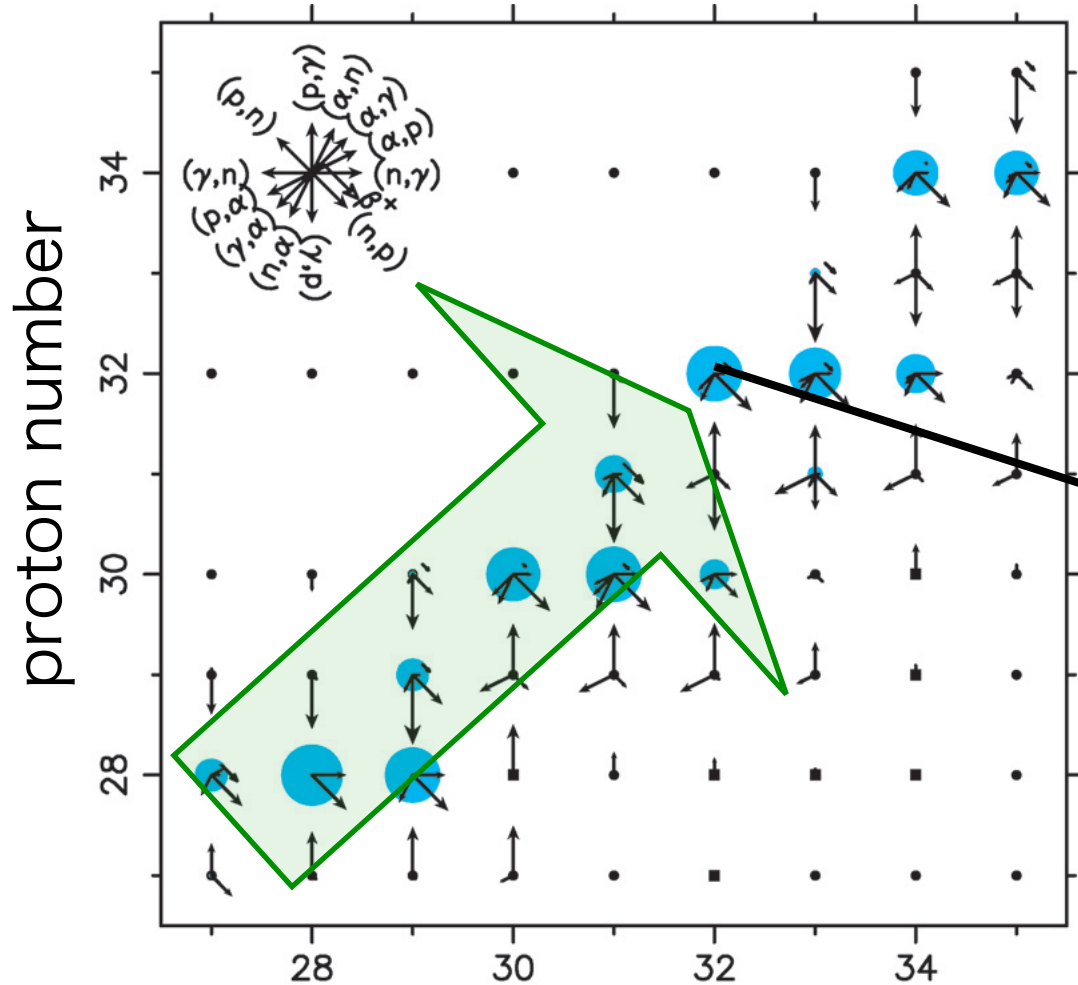
“ νp プロセス”元素合成

陽子過剰な爆発的環境

“classical”なrpプロセスの状況に似る

(X線バースト天体：中性子星表面に伴星から水素が降着し核爆発)

rp-process paths: (p, γ) and β^+ -decay



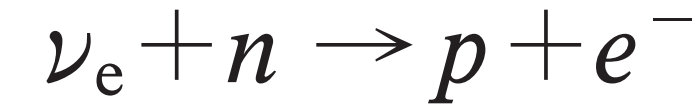
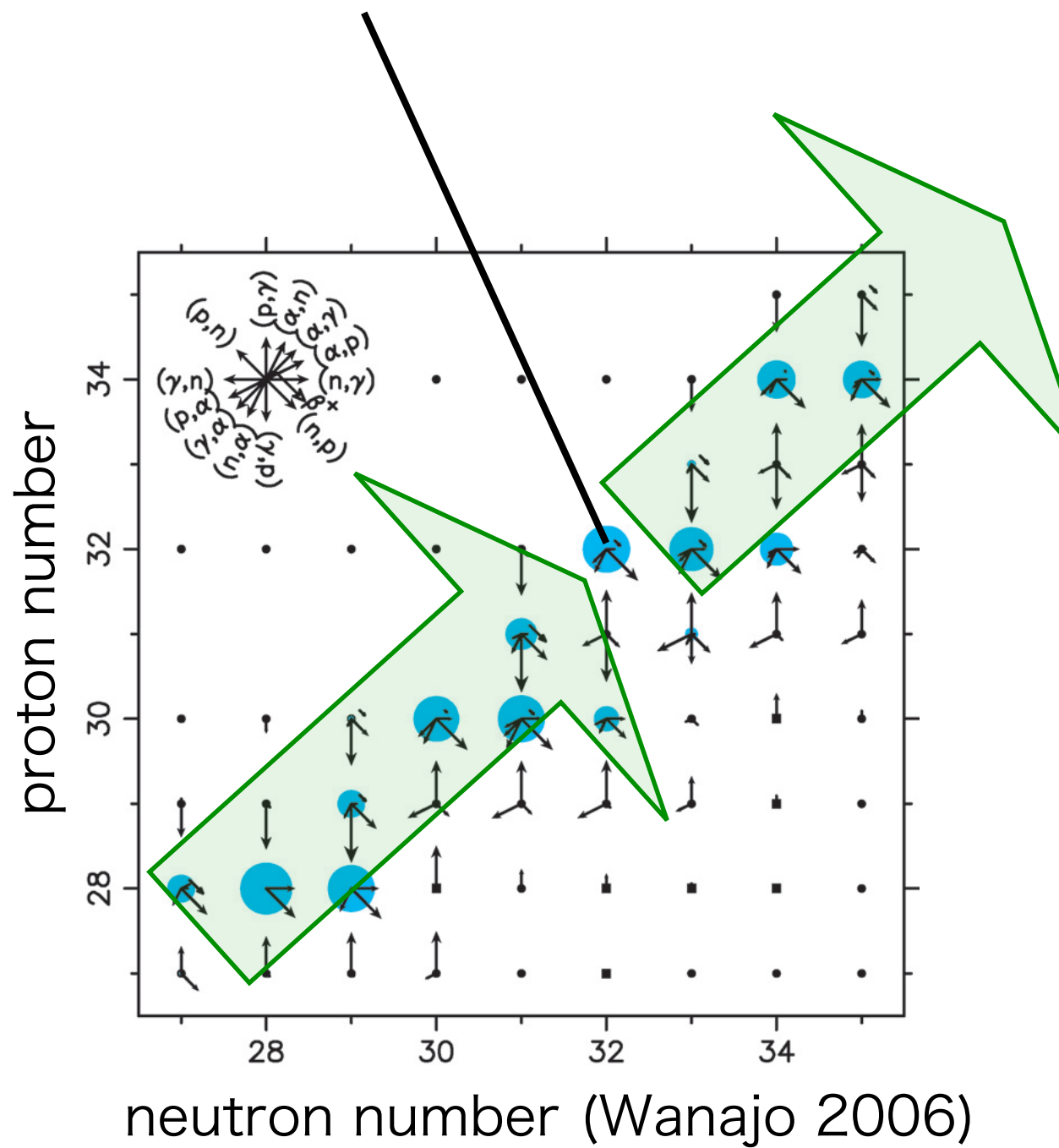
neutron number (Wanajo 2006)

ただし、超新星の環境は
タイムスケールが短い～1秒

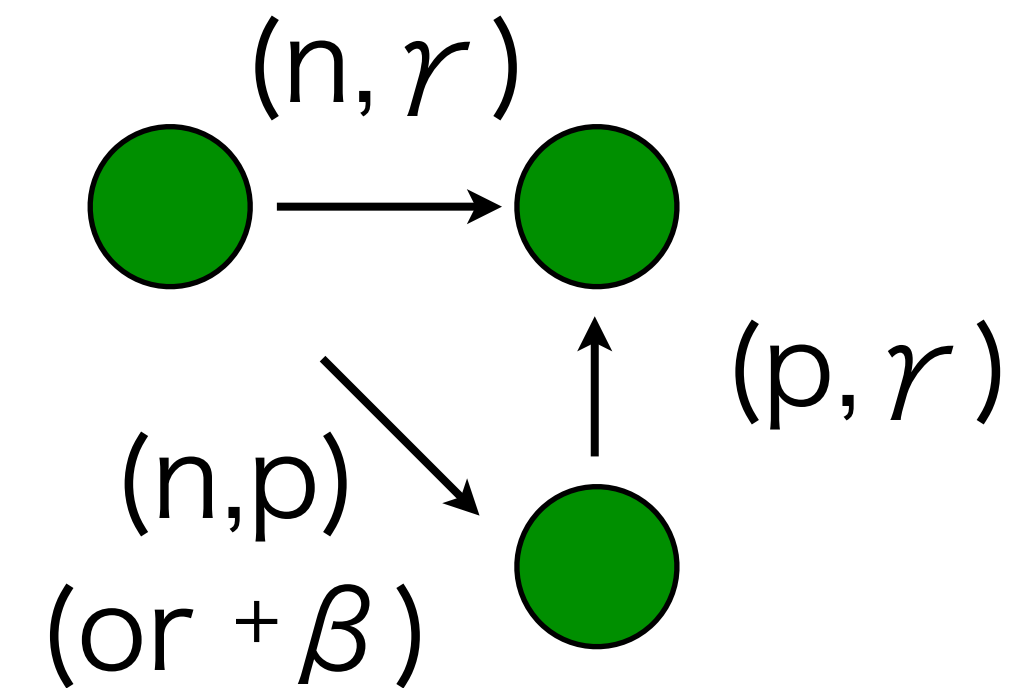
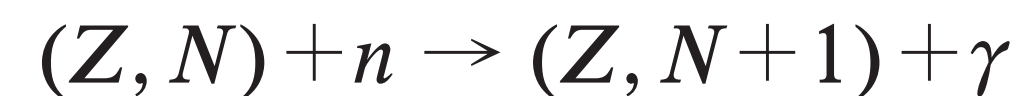
^{64}Ge (Z=N=32)
半減期 $\tau_\beta \sim 1$ 分
 \Rightarrow 元素合成の流れが止まる

“νpプロセス”元素合成

中性子捕獲により迂回する
↑ニュートリノ捕獲に起因

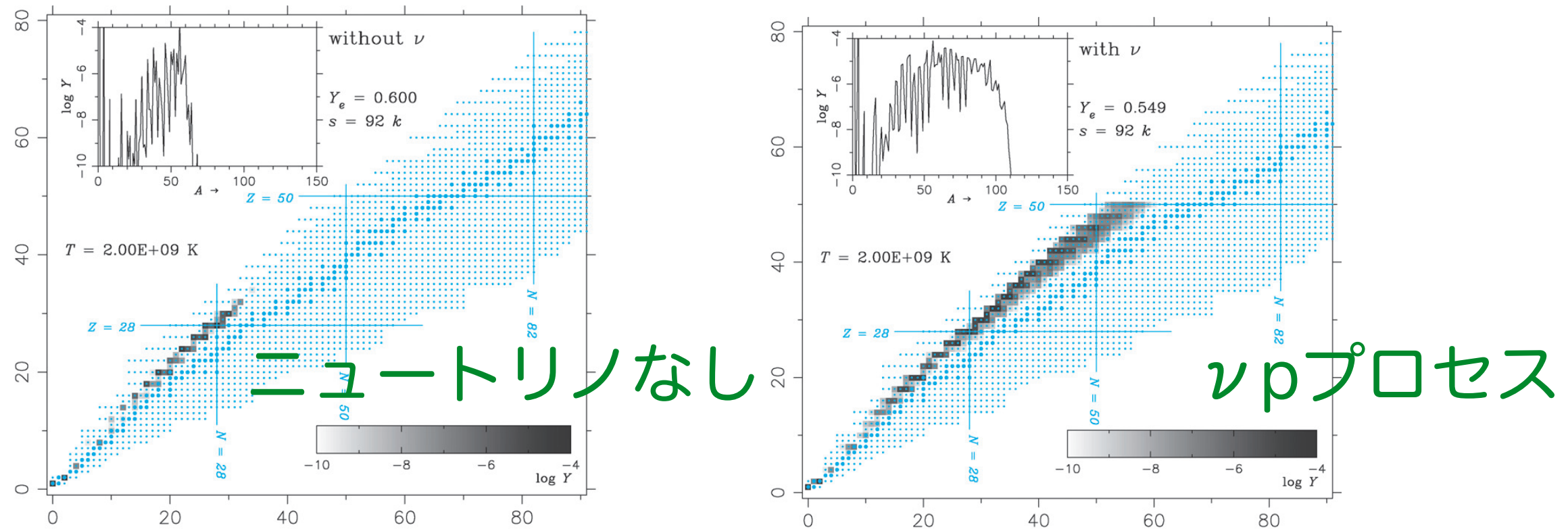


neutron source

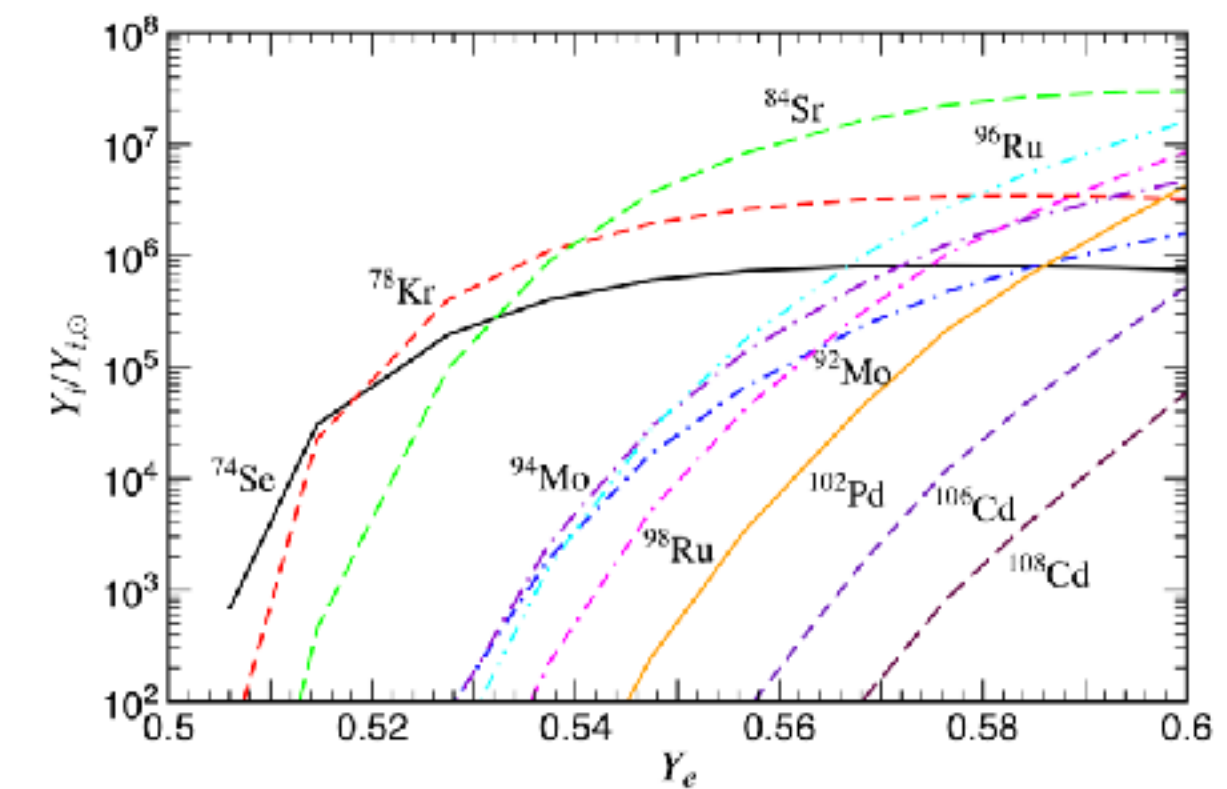
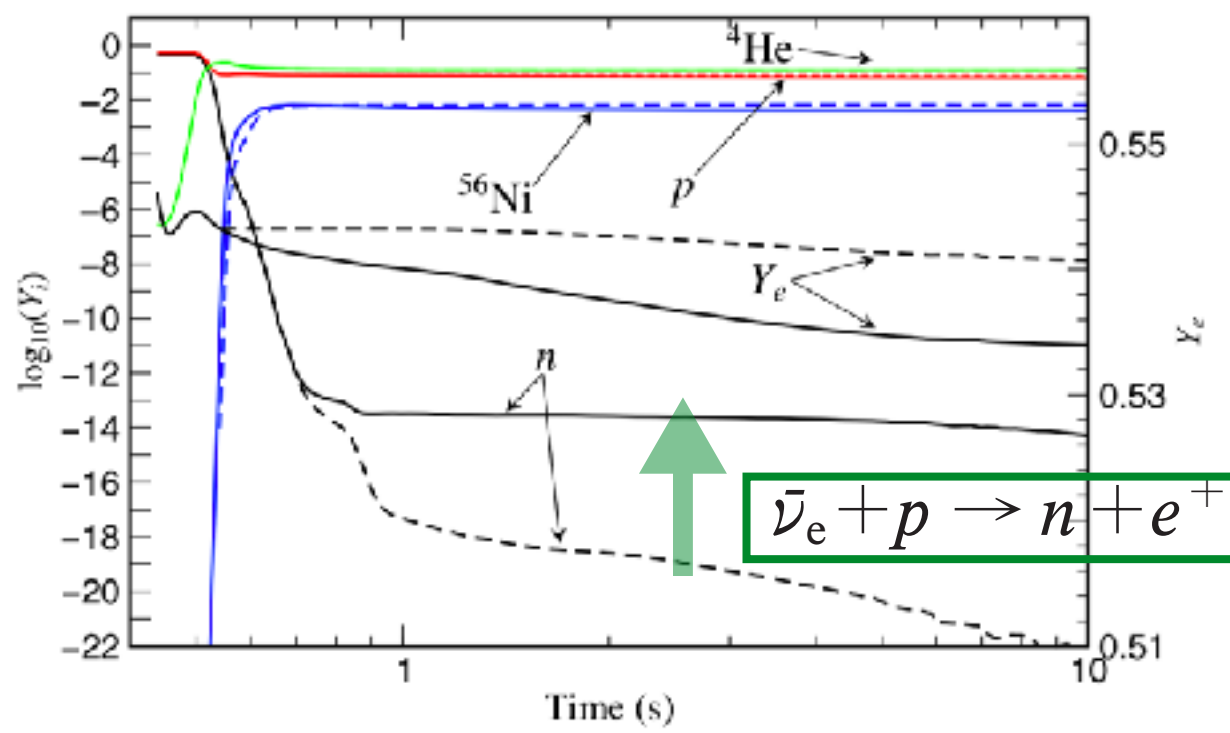


" ν p-process" (neutrino induced rp-process)

Wanajo 2006 (ニュートリノ駆動風)



Fröhlich et al. PRL 2006 (超新星のp-rich ejecta)



“νプロセス”元素合成

梅田＆吉田によるレビュー@第一回研究会

Neutrino元素合成 (ν -Process)

超新星ニュートリノ

→ 原始中性子星から $N_\nu \sim 10^{58}$

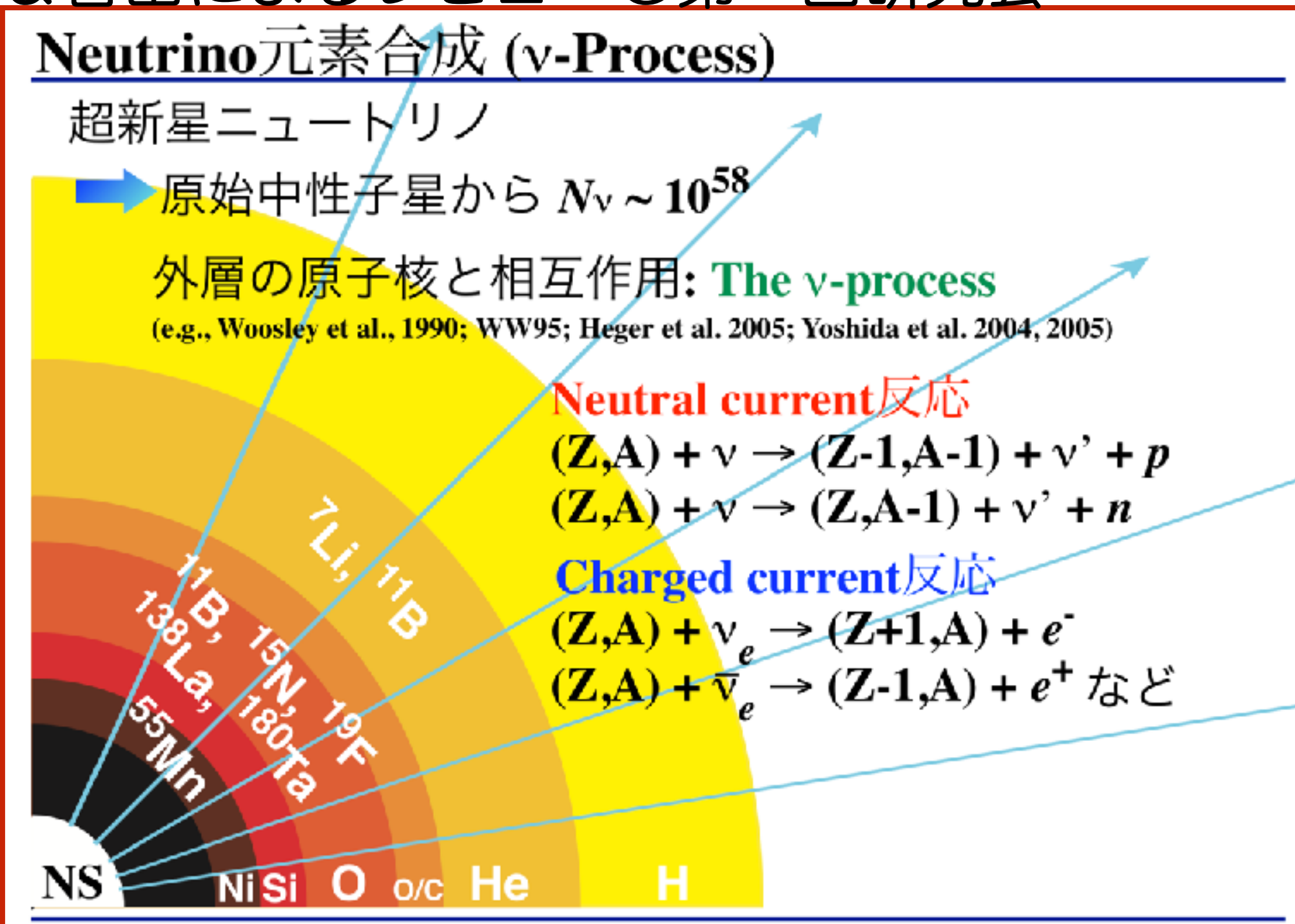
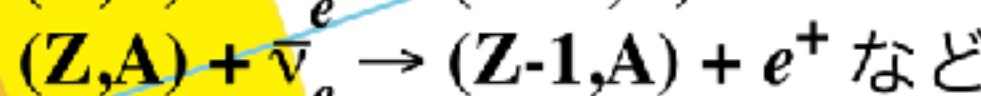
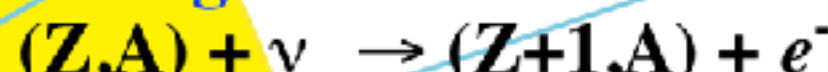
外層の原子核と相互作用: **The ν -process**

(e.g., Woosley et al., 1990; WW95; Heger et al. 2005; Yoshida et al. 2004, 2005)

Neutral current反応



Charged current反応



超新星ニュートリノが外層の元素（星の進化や爆発時に生成）当たり、
近傍の元素を作る → 他のプロセスではできない希少な核

pプロセスとは

- ・一部の鉄族元素や「軽いp核」の起源
 - ・超新星コアのニュートリノが関与
→ 爆発メカニズムへの「制限」
- よく確立は
されていない
天体モデルの不定性

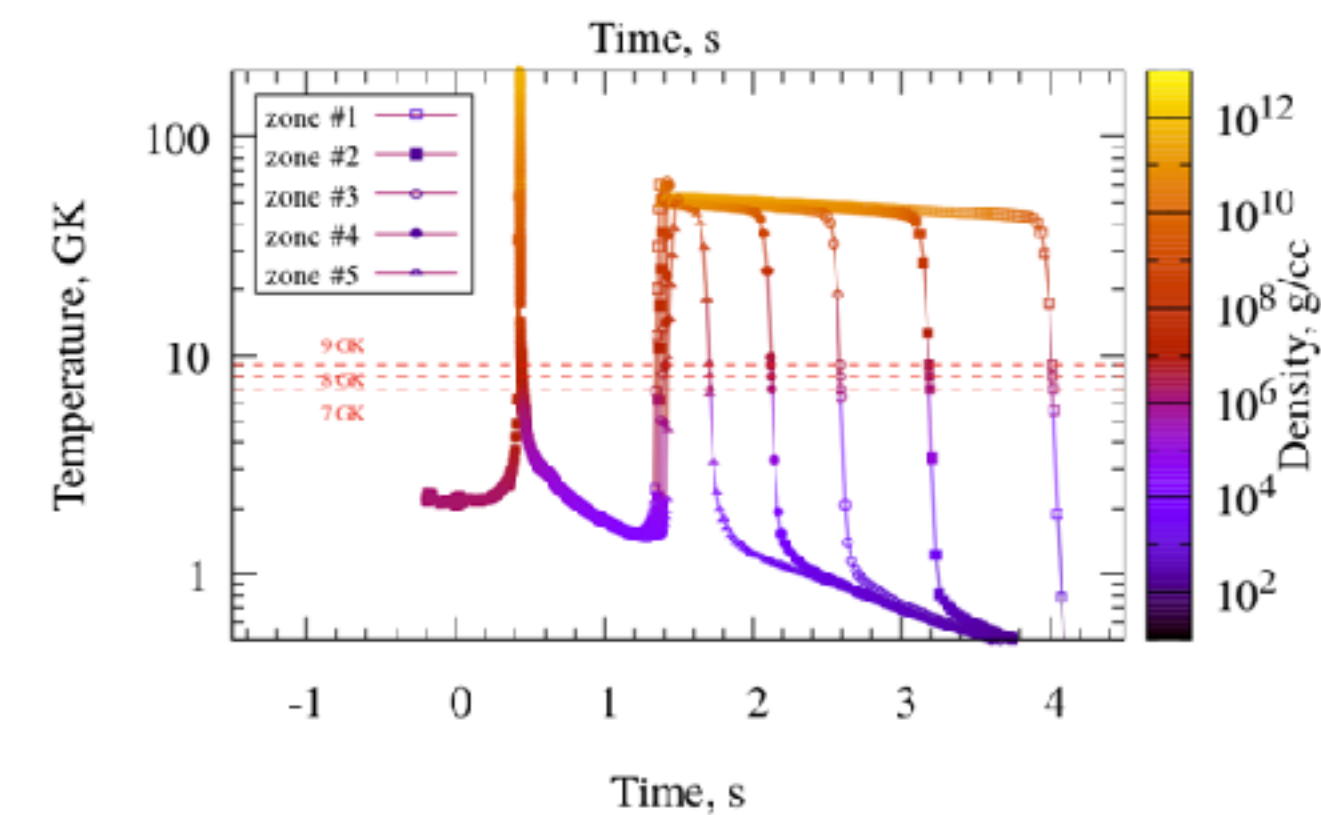
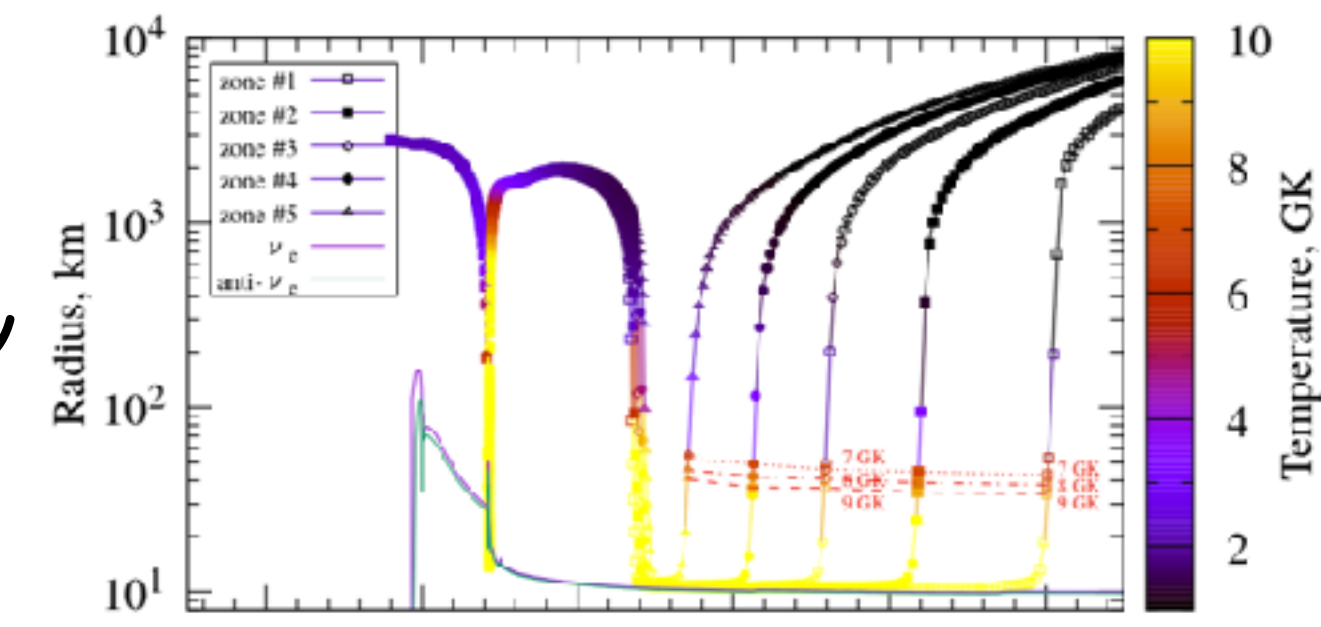
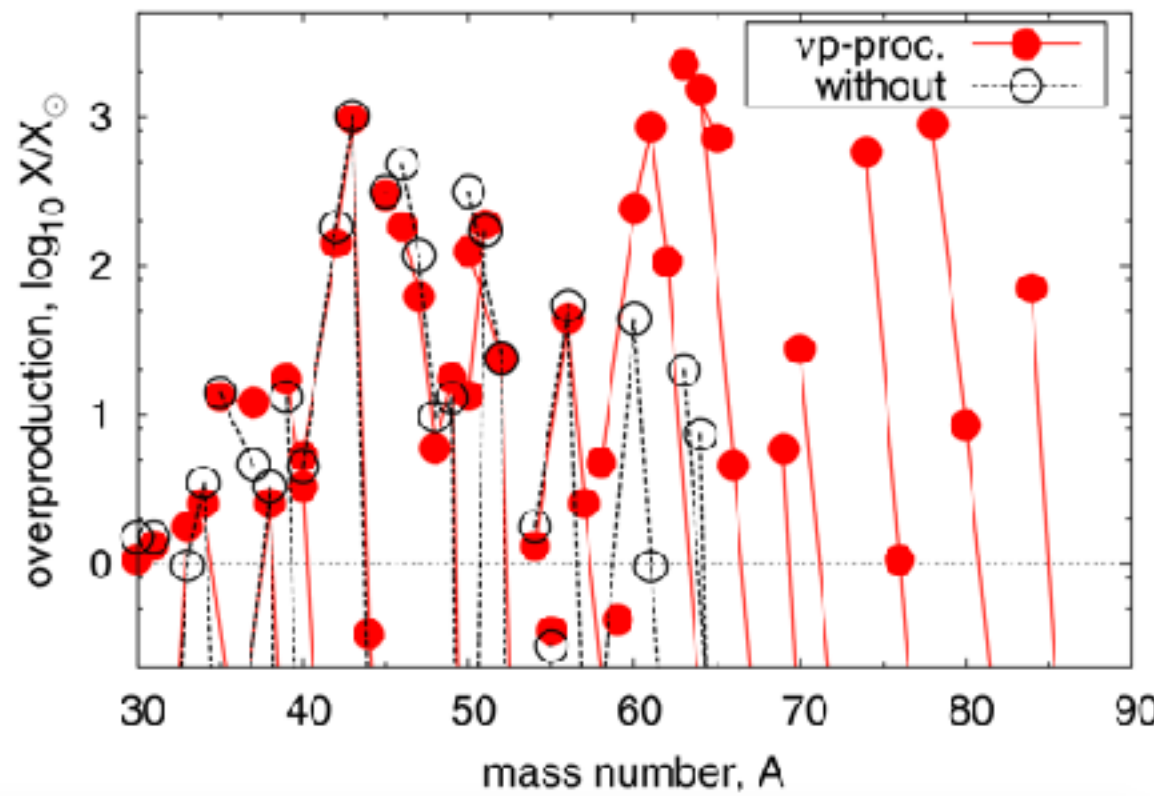
の方が大きい？？

- ・天文学
 - ・天体サイトが未解明・超新星のコア付近の進化に直結
- ・隕石
 - ・天然同位体比の解明（太陽系、太陽系外）
- ・原子核物理
 - ・鉄より重い陽子過剰核（実験的に得られる）の核反応
 - ・質量等原子核の基本量→実験による検証
 - ・不安定核の反応率理論（モデル）の検証

核反応の不定性の νp プロセスへの影響

天体モデル

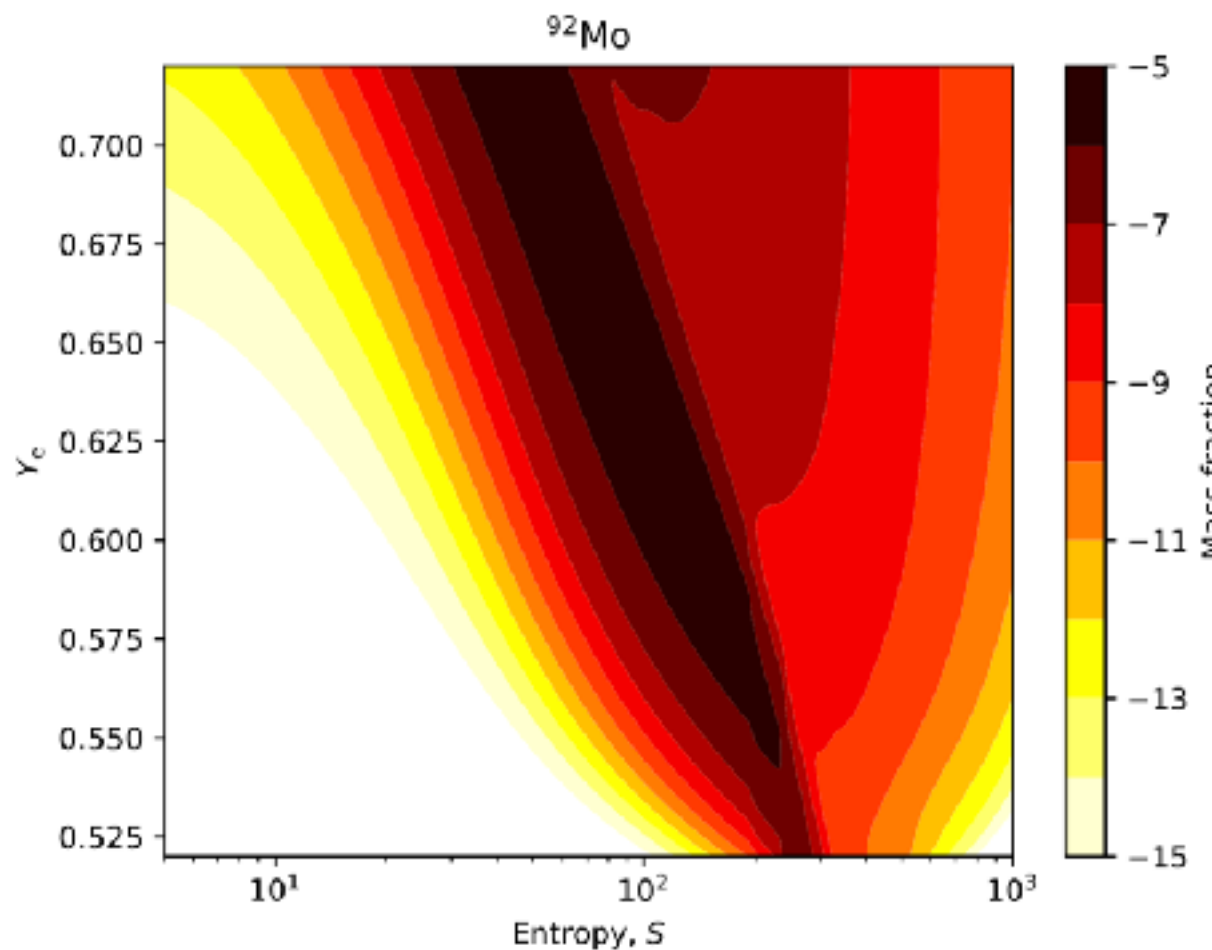
NN+2012をベースに
YeとSを手で与える
(超新星爆発シミュレーション
はT.Fischerによる)



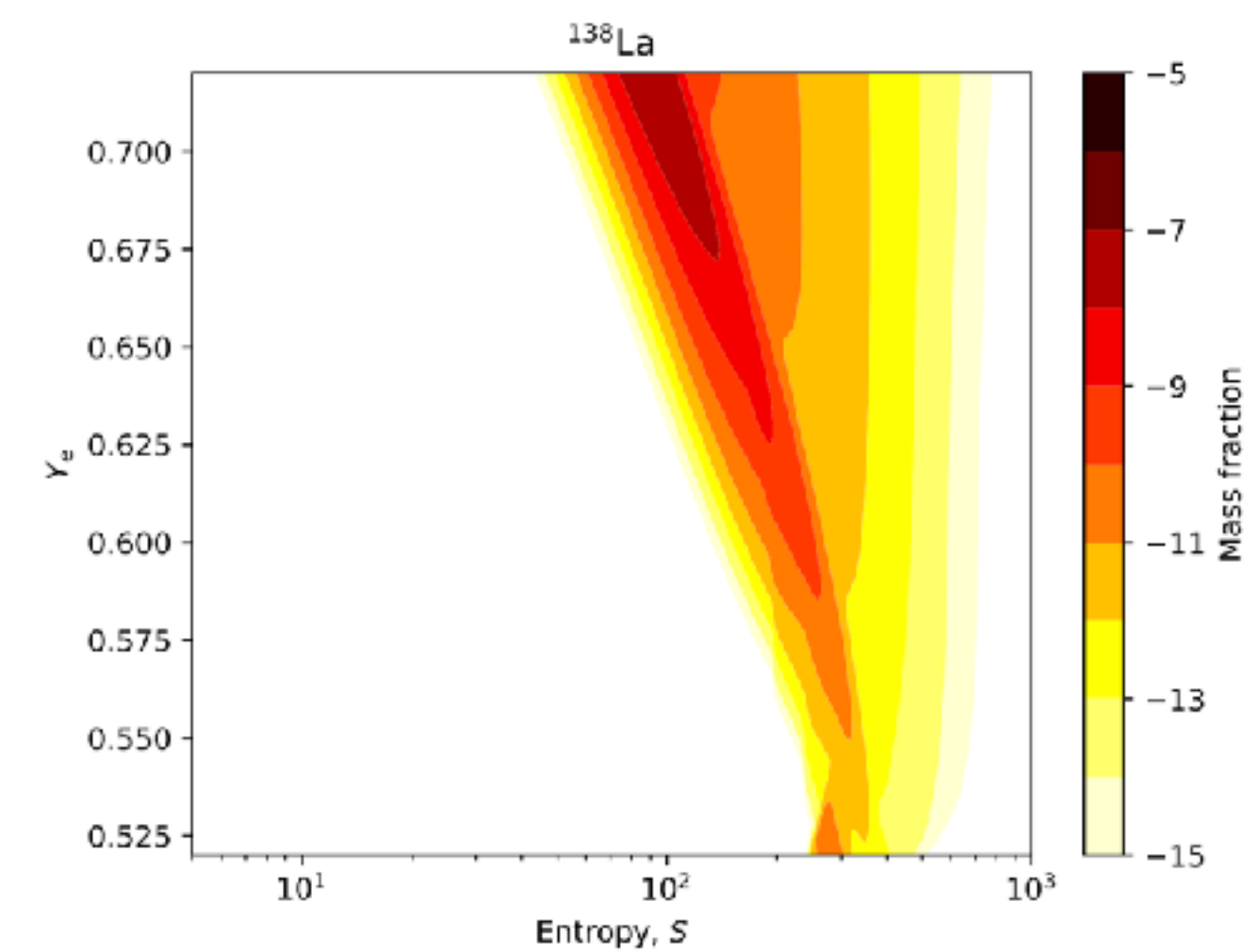
天体モデル

Ye-Sの組み合わせ (61x201)

軽いp核



中間のp核

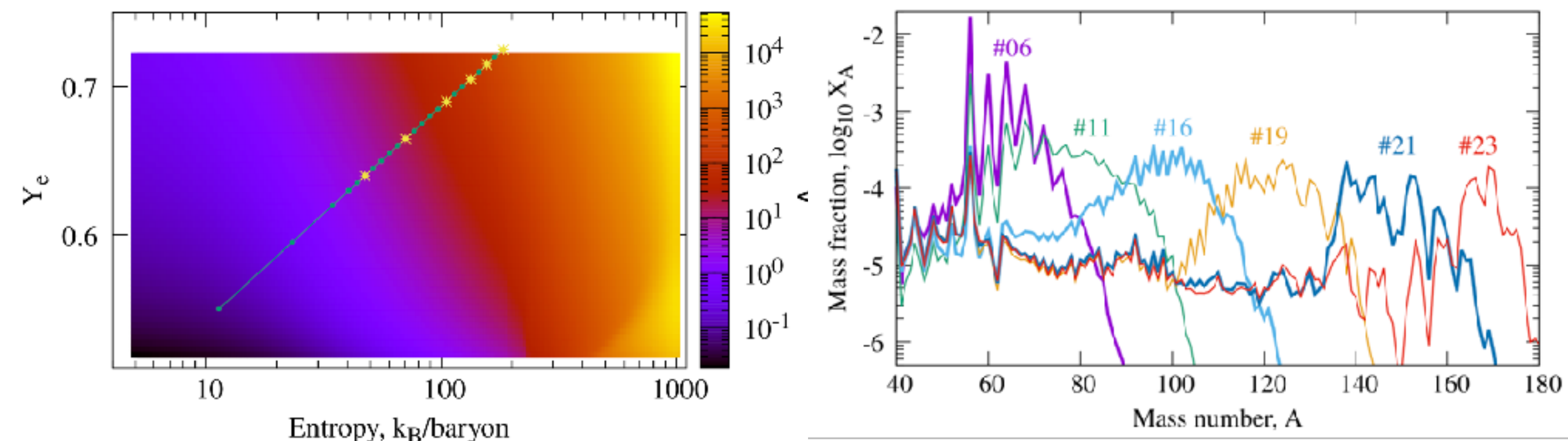


天体モデル

νp プロセスの強度

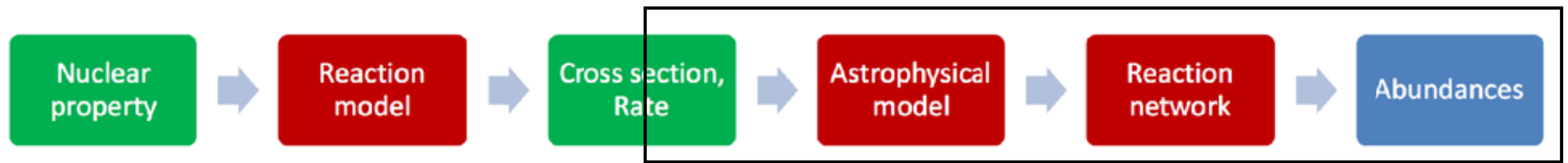
$$\Delta_n \equiv \frac{Y_p}{Y_h} n_{\bar{\nu}_e} = \frac{Y_p}{Y_h} \int_{T_9 \leq 3} \lambda_{\bar{\nu}_e} dt$$

Y_p : 陽子数比
 Y_h : 重元素数比
 $n_{\bar{\nu}_e}$: 中性子生成数比
(ニュートリノ吸収)



これ以後、現実的な（超新星）モデルを離れ、元素合成の振る舞いのみに着目する

モンテカルロ元素合成：ストラテジー



天体環境

・天体モデル

- ・星の進化、超新星爆発のモデルなど
- ・多次元流体力学計算など

核反応ネットワーク

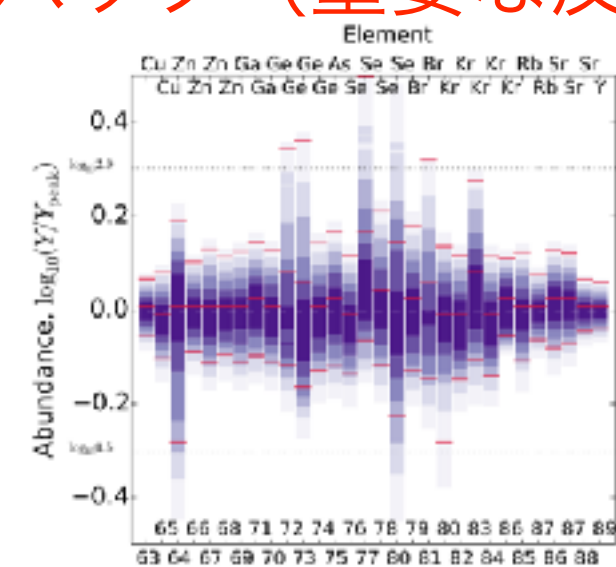
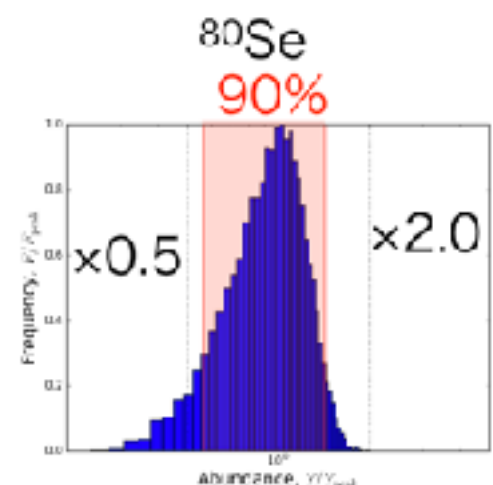
・元素合成

- ・重元素の核反応
- ・ベータ崩壊など

モンテカルロ

元素合成生成物の
不定性

フィードバック (重要な反応率の特定)



モンテカルロ元素合成コード

- コード概要

- PizBuin MC-drive
(by Rauscher, NN etc)
- a simple “Brute-force” approach
- **parallelized by OpenMP** for shared memory architectures
(was used in Cosmos @Cambridge)

- 核反応ネットワーク

- **Network solver:**

- WinNet: the latest Basel network, Winteler+, 2012

- **Reaction rates:**

- ReacliB: (Rauscher & Thielemann 2000)
 - **T-dependent beta-decay** (Takahashi & Yokoi 1987, Goriely 1999)

- **T-dependent uncertainty:**

- Provided by ReacliB format, based on Rauscher 2012



Piz Buin (mountain)

Large-scale MC calculations

for shared memory systems

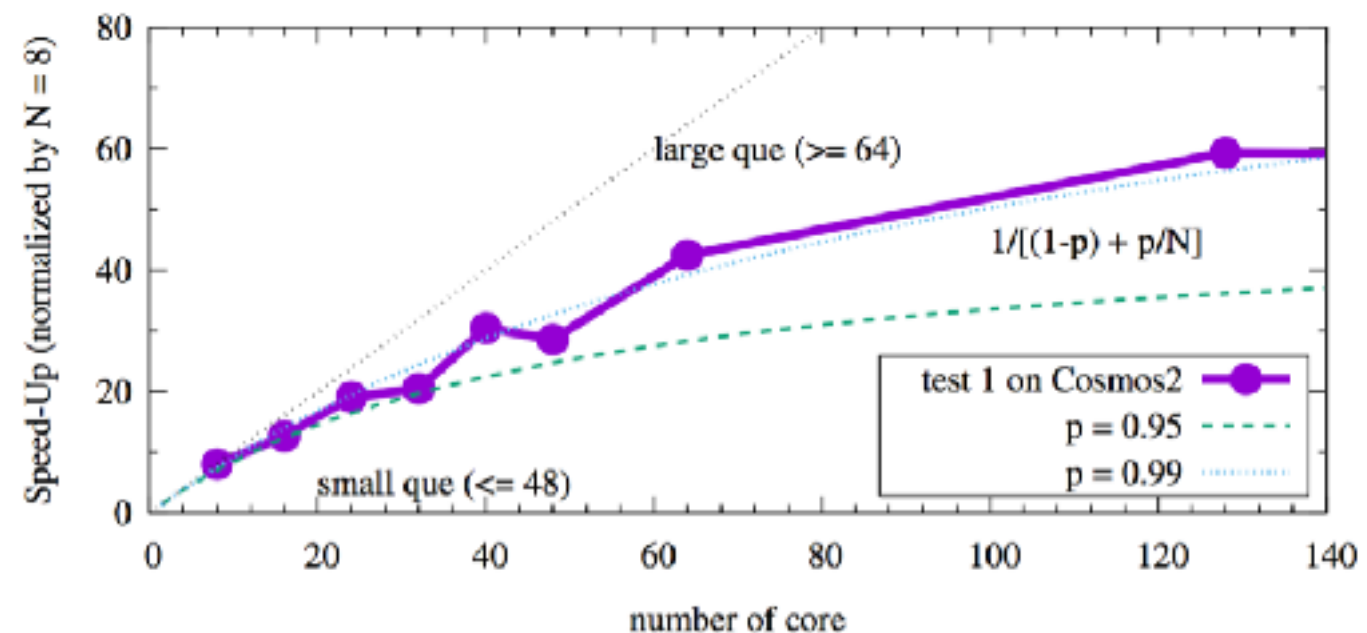
- Fortran + OpenMP
- parallelized well
- optimized code/matrix library for large scared memory computers (multi threads)
- Computer resources



Shyne cluster
@Keele (ERC)

DiRAC

performance tests of matrix solvers on shared memory system



Cosmos2 @Cambridge
(UK DiRAC facility, STFC)



νp プロセスにおける反応率の不定性

Reaction	$U_{\text{th}}^{\text{hi}}$	$U_{\text{th}}^{\text{lo}}$	
(n, γ)	2.0	2.0	・反応の種類ごとに上限と下限を決める
(p, γ)	2.0	3.0	・1回の試行（元素合成計算）ごとに
(p,n)	2.0	3.0	異なる反応率のセットを用いる
(α , γ)	2.0	10.0	・全ての反応率をバラバラに変化させる
(α ,n)	2.0	10.0	
(α ,p)	2.0	10.0	

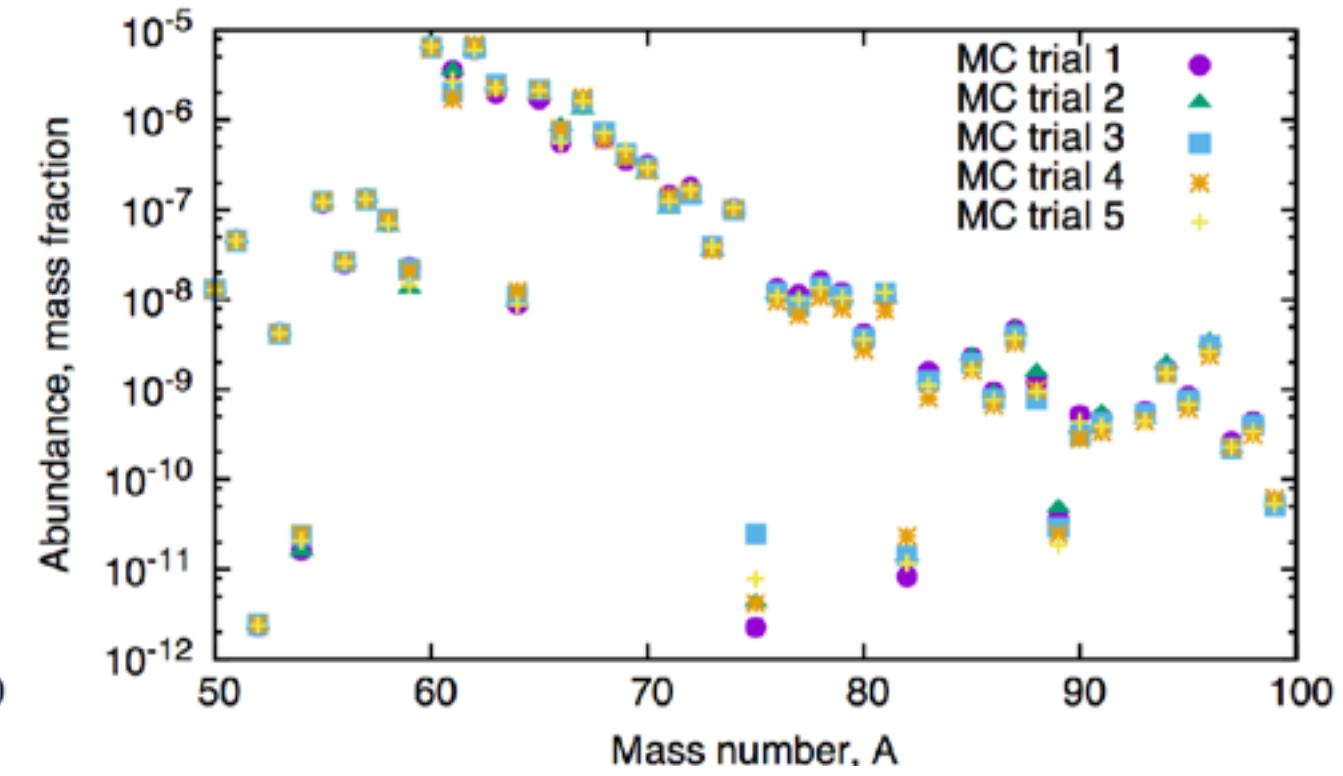
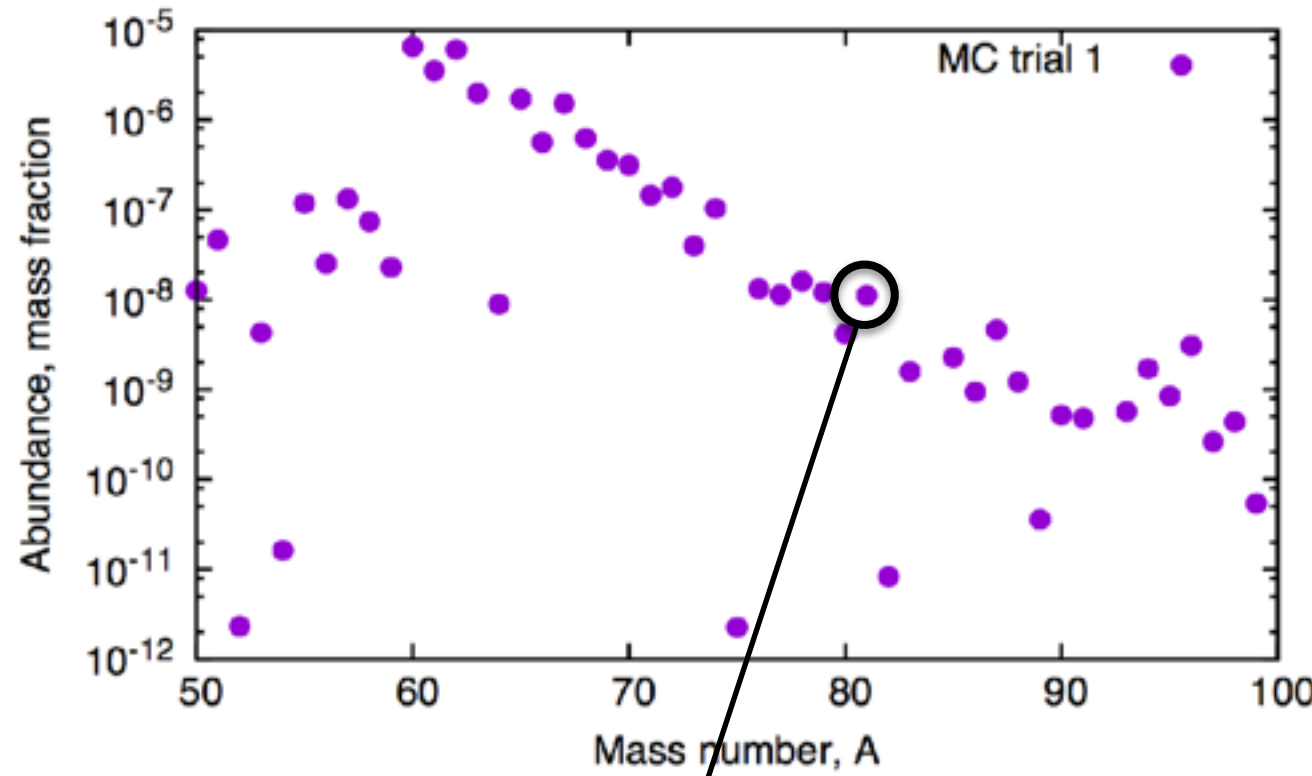
$U_{\text{th}}^{\text{hi}}$: upper limit

$U_{\text{th}}^{\text{lo}}$: lower limit

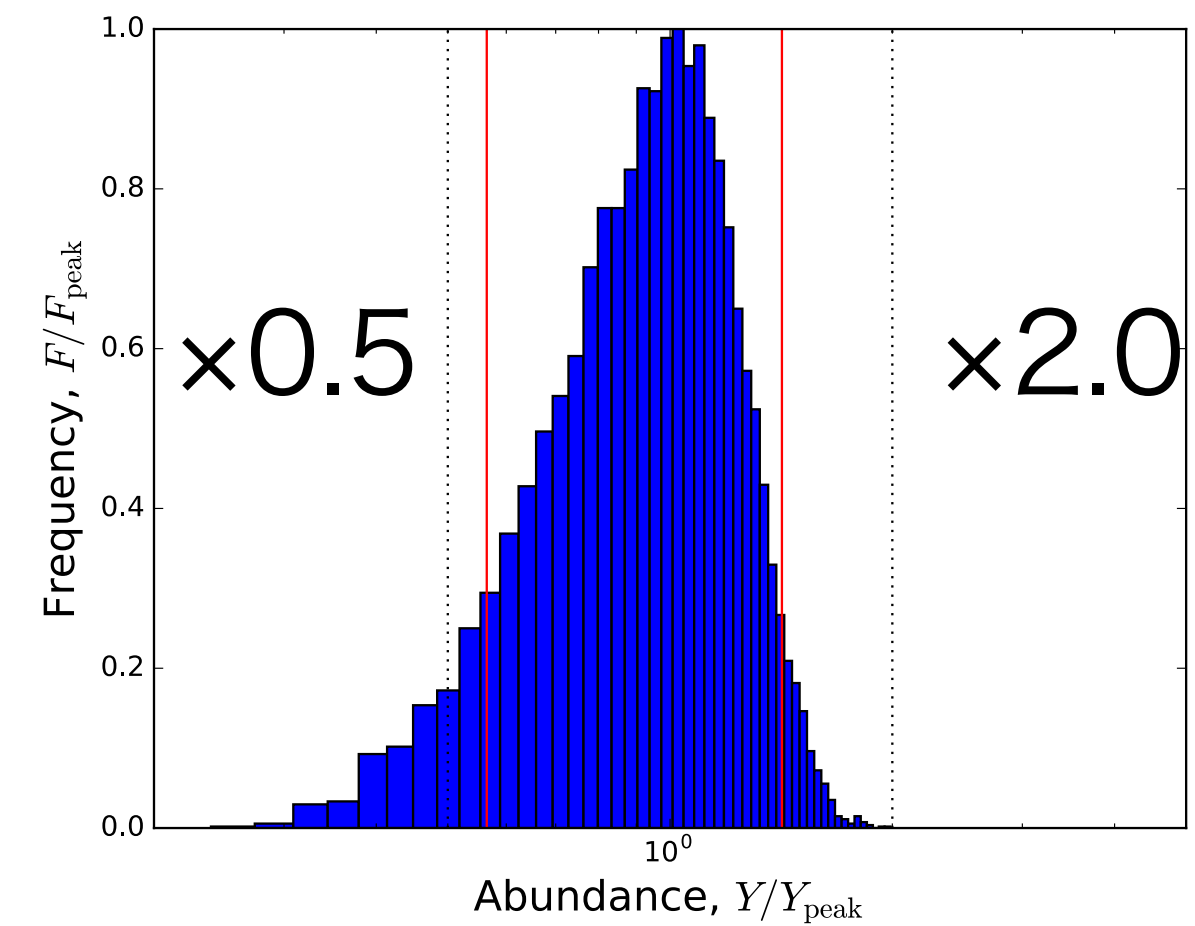
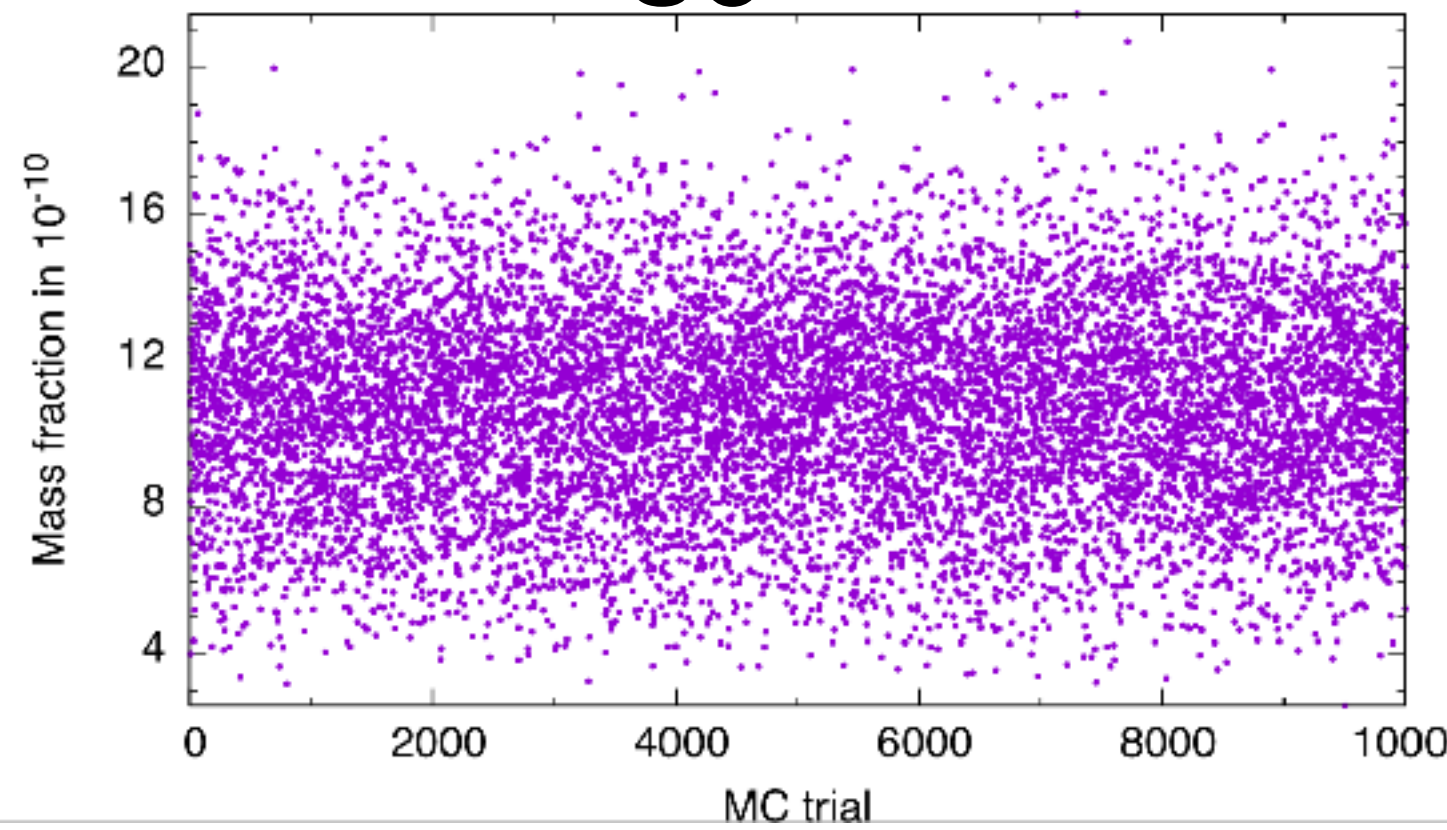
※実験ベースの反応率は、多少凝った取り扱いをする
(sプロセスの場合：NN+2017) が、今回は関係なし

モンテカルロ元素合成計算

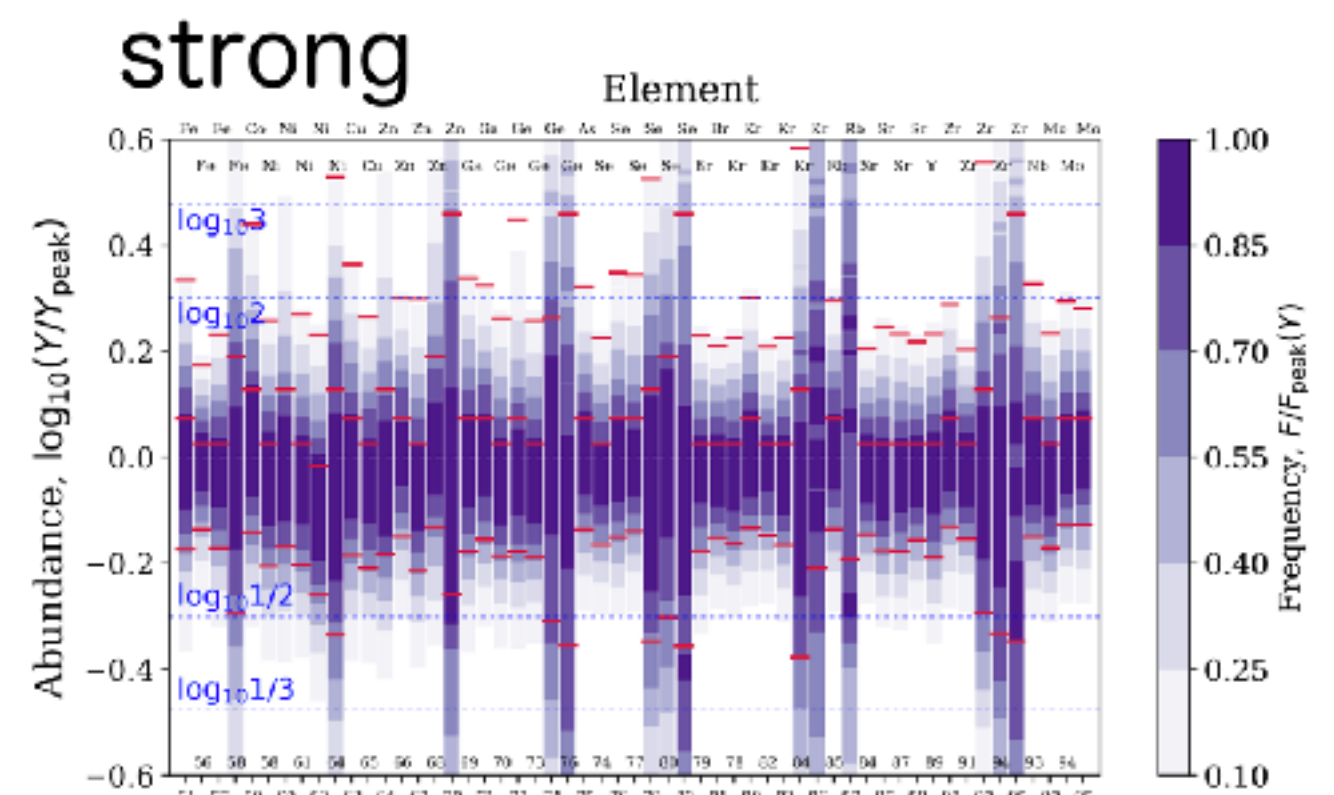
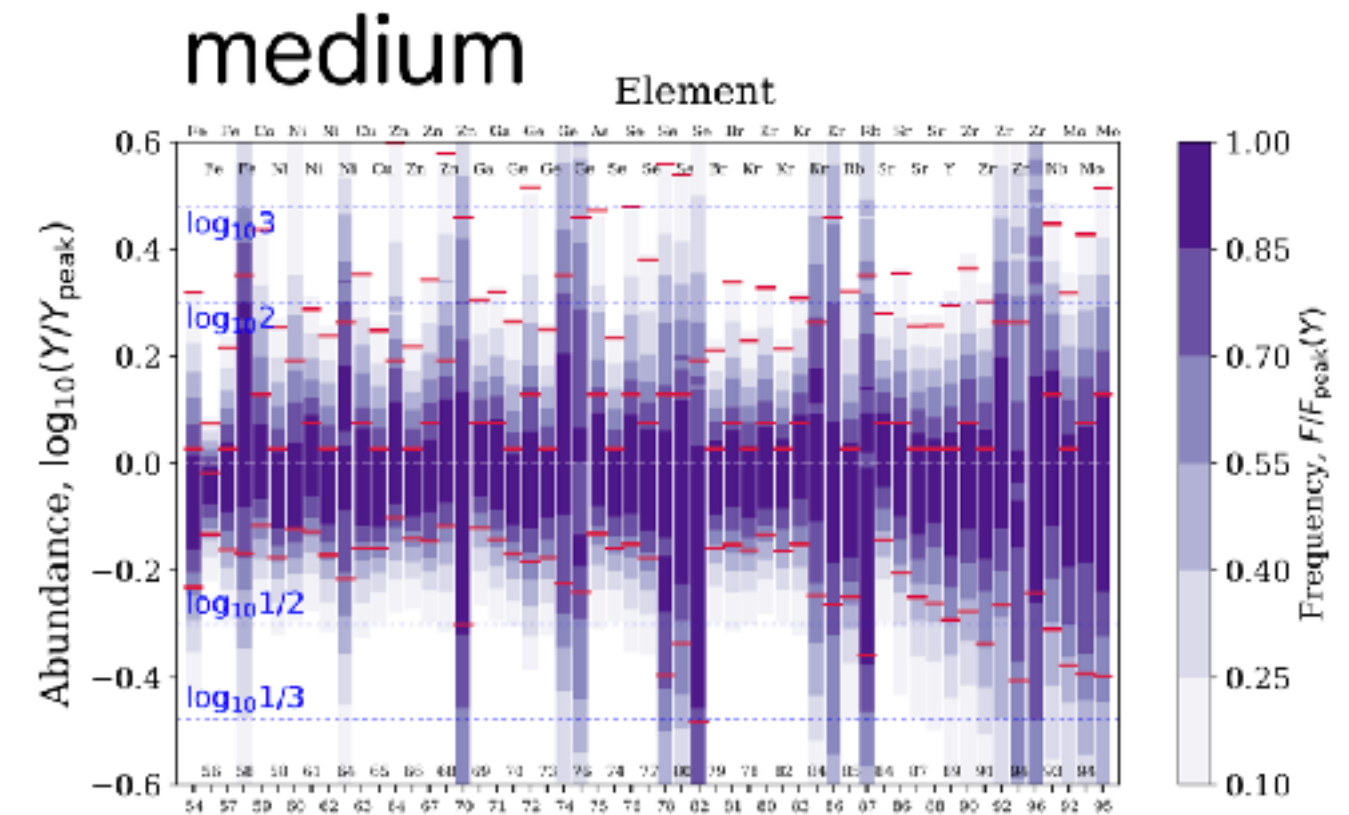
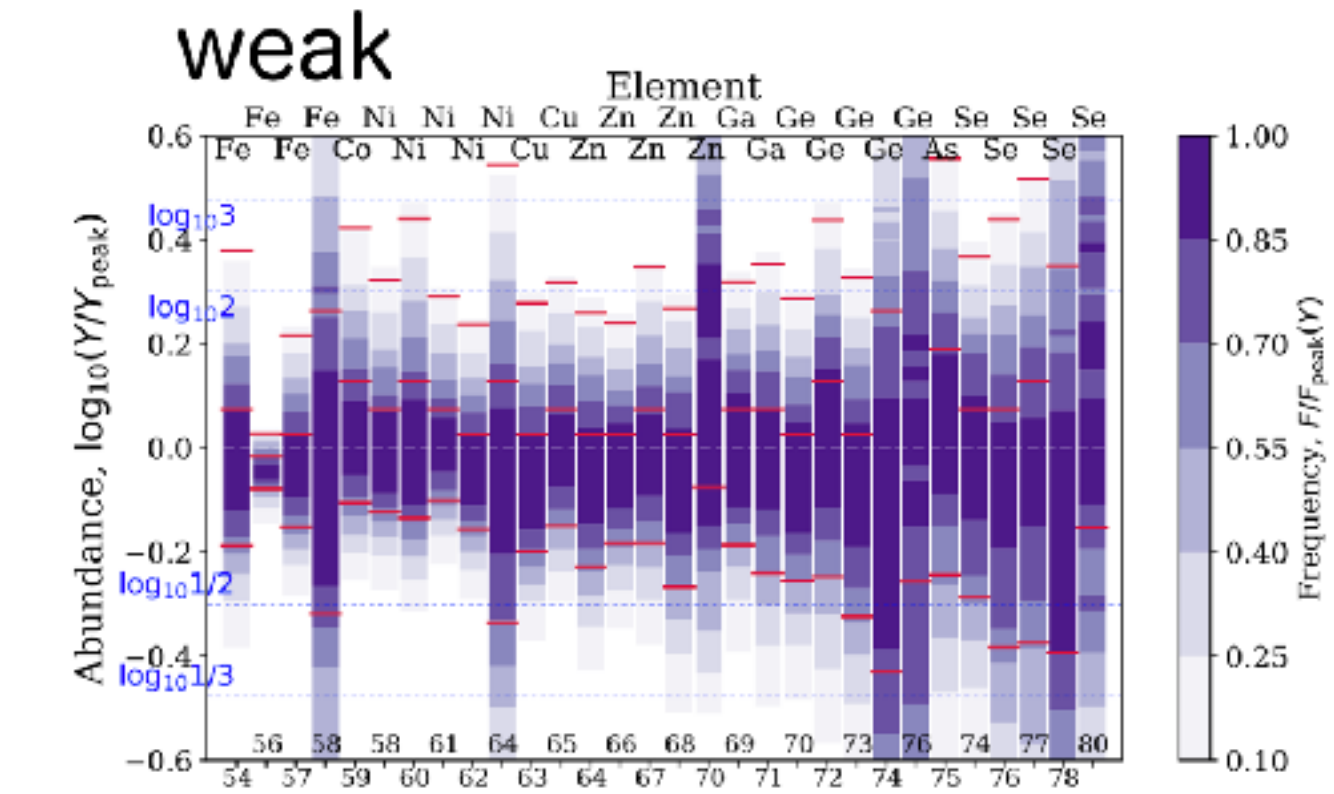
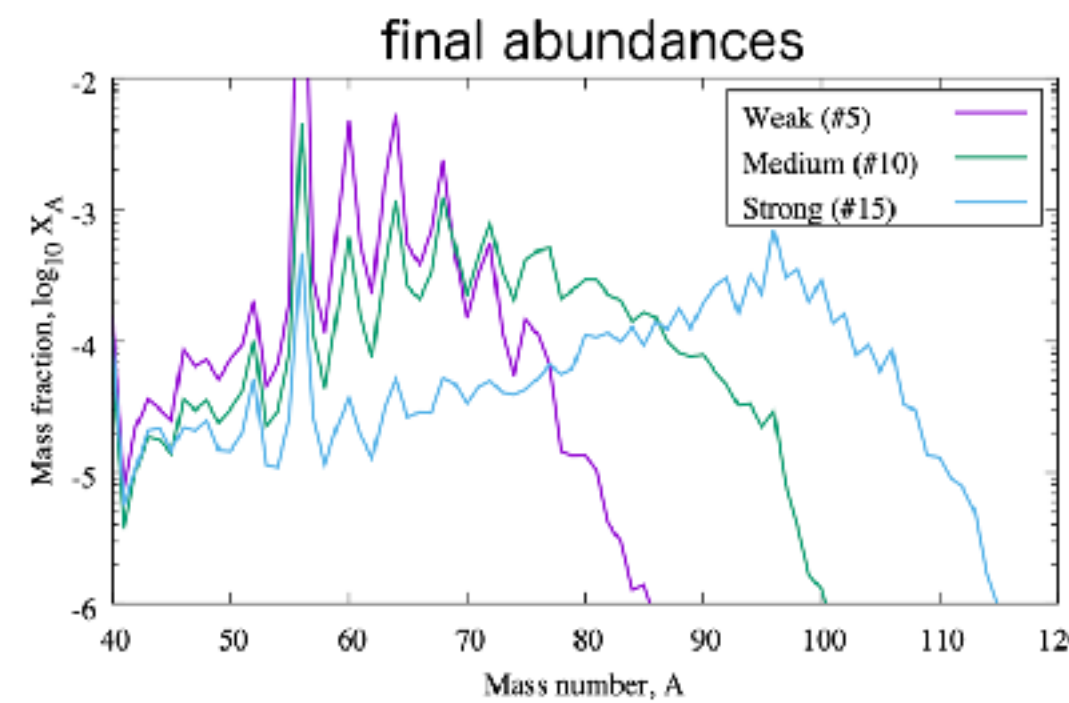
※例はsプロセス



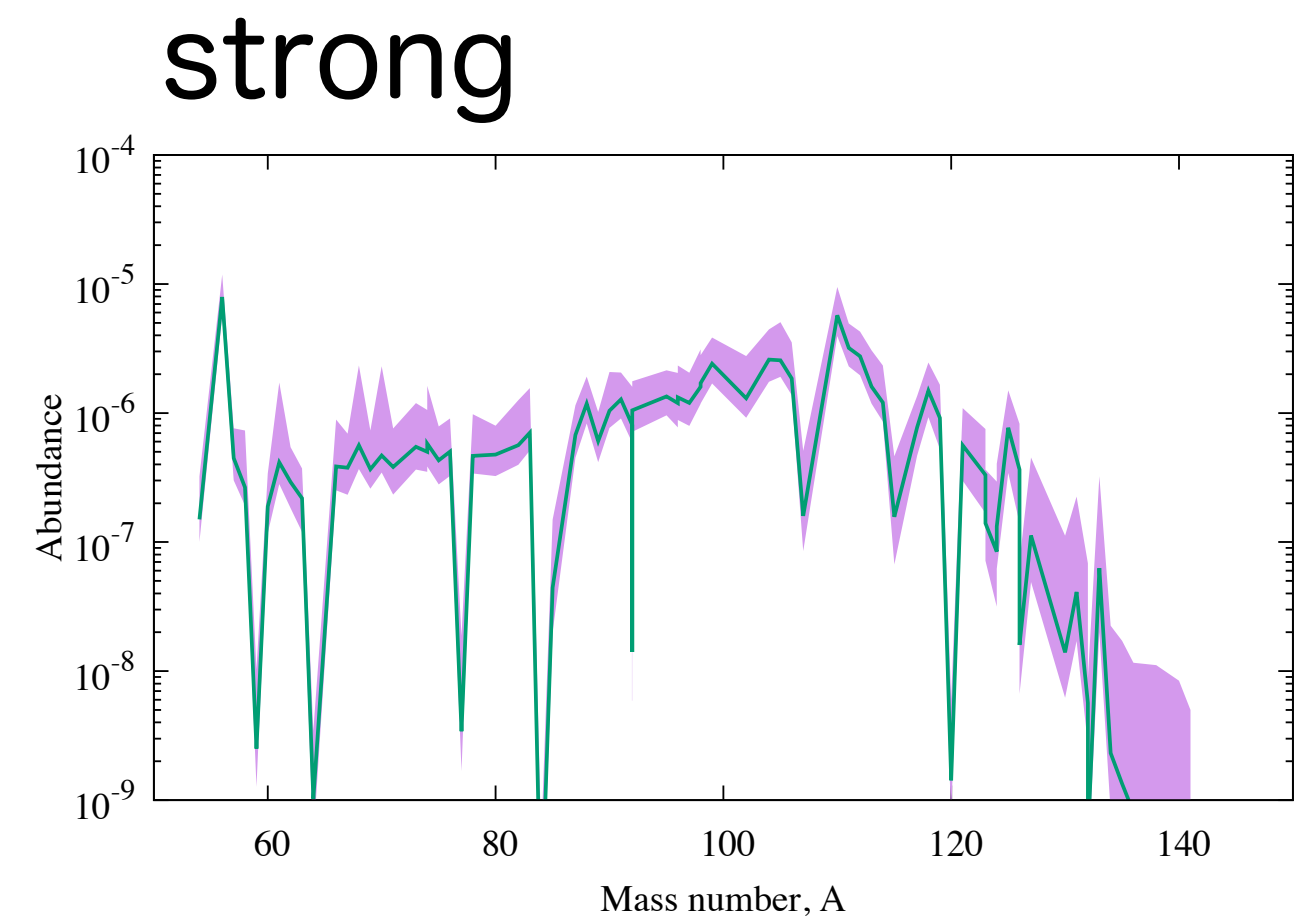
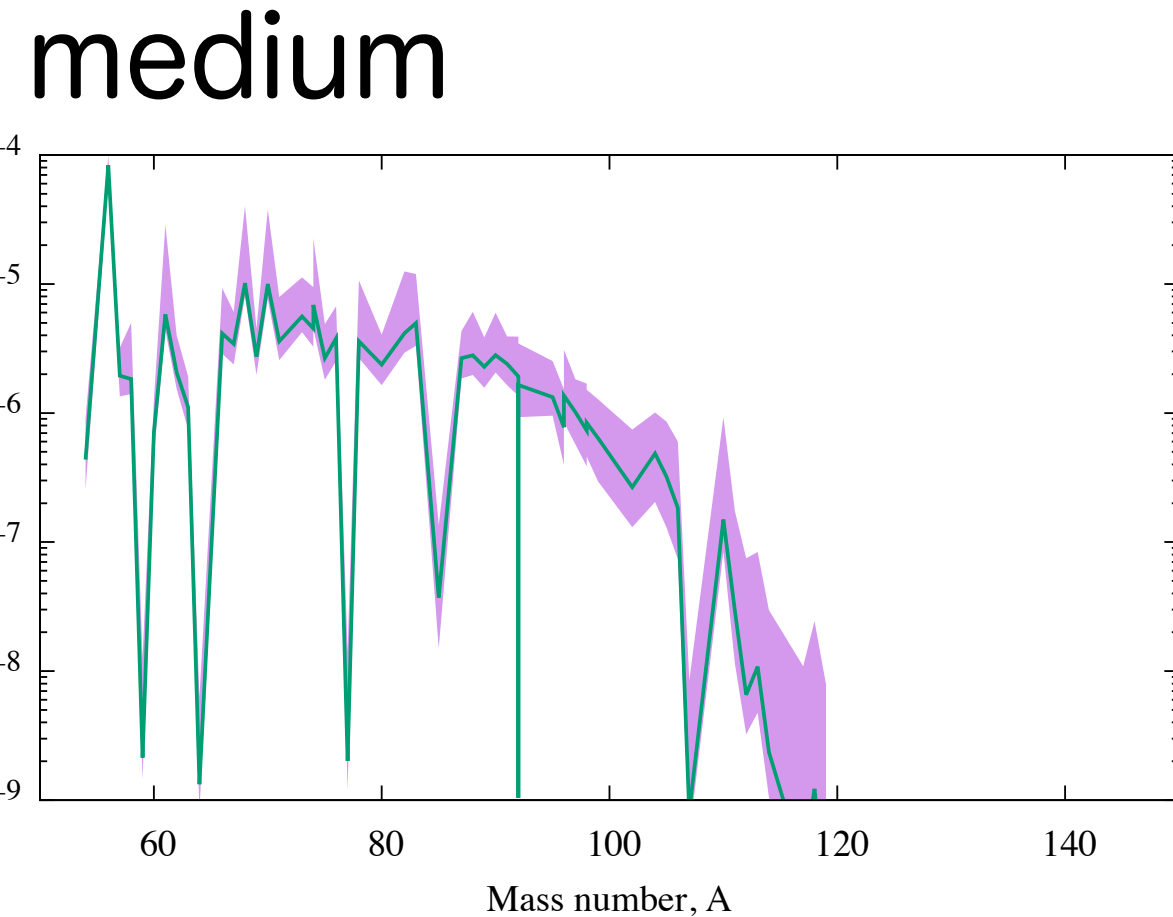
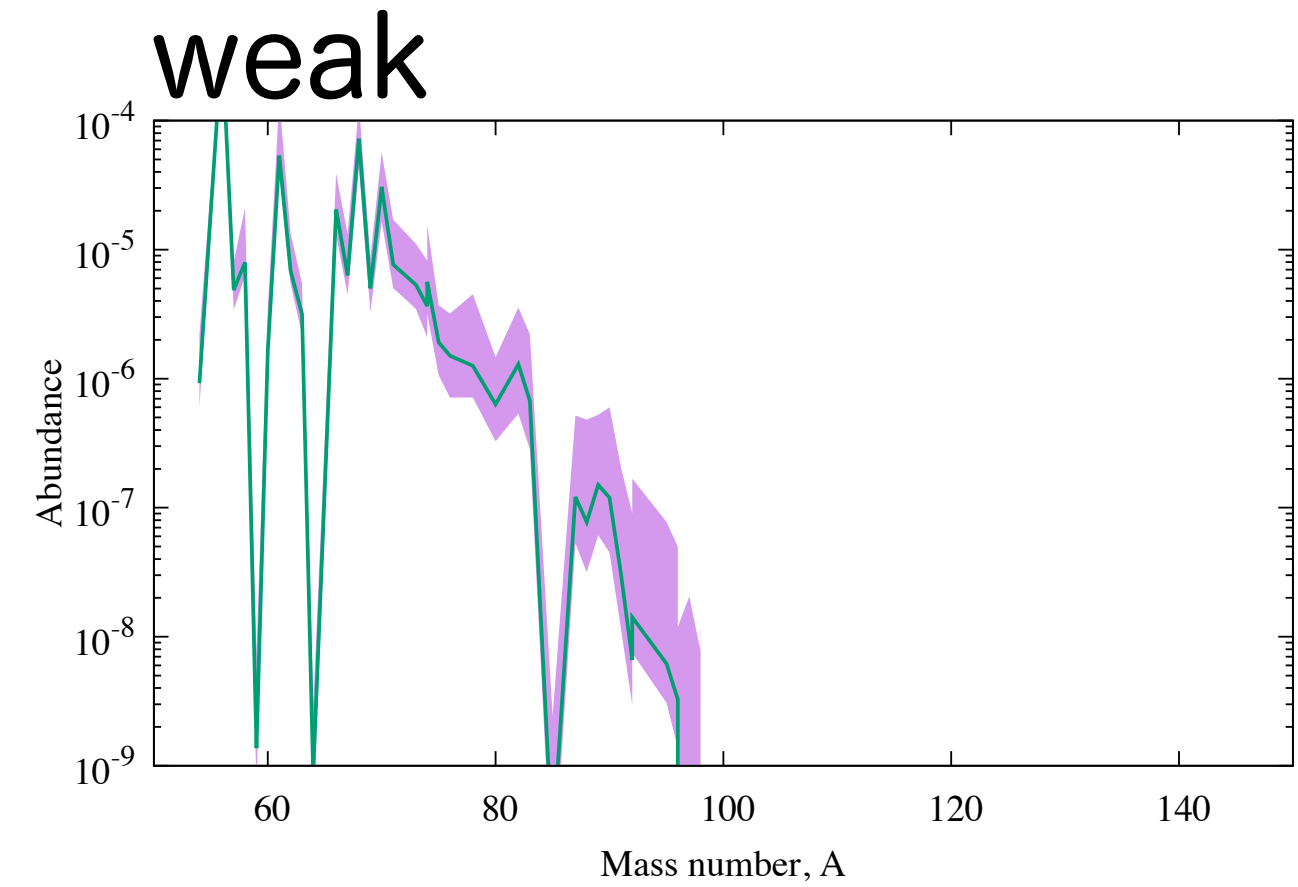
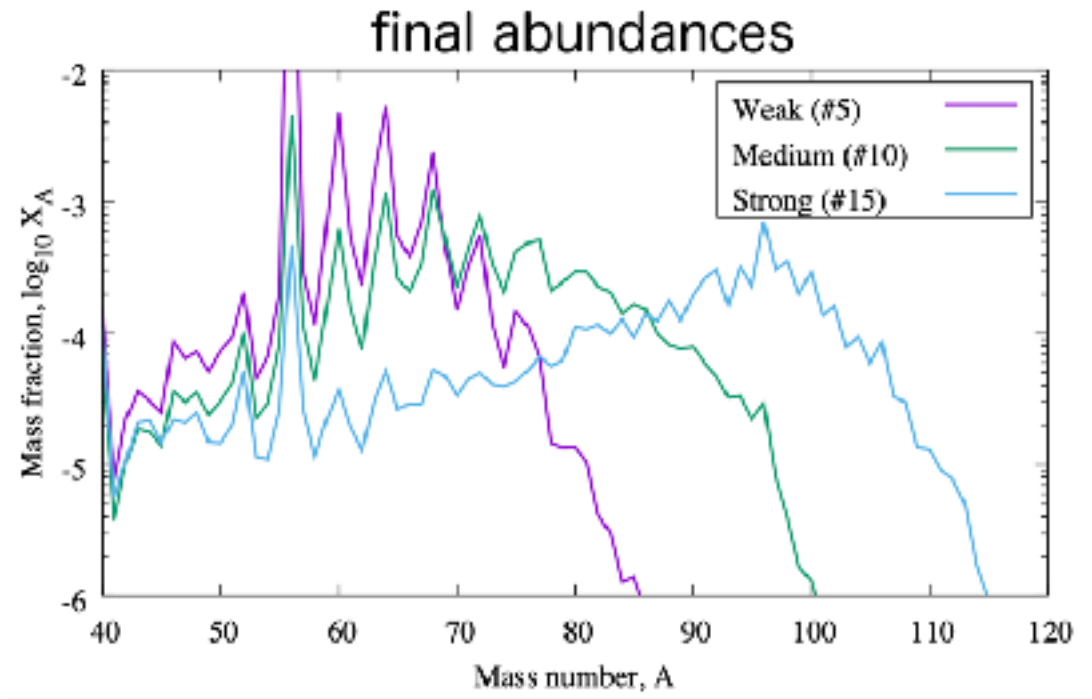
^{80}Se



νp プロセスでの結果



νp プロセスでの結果



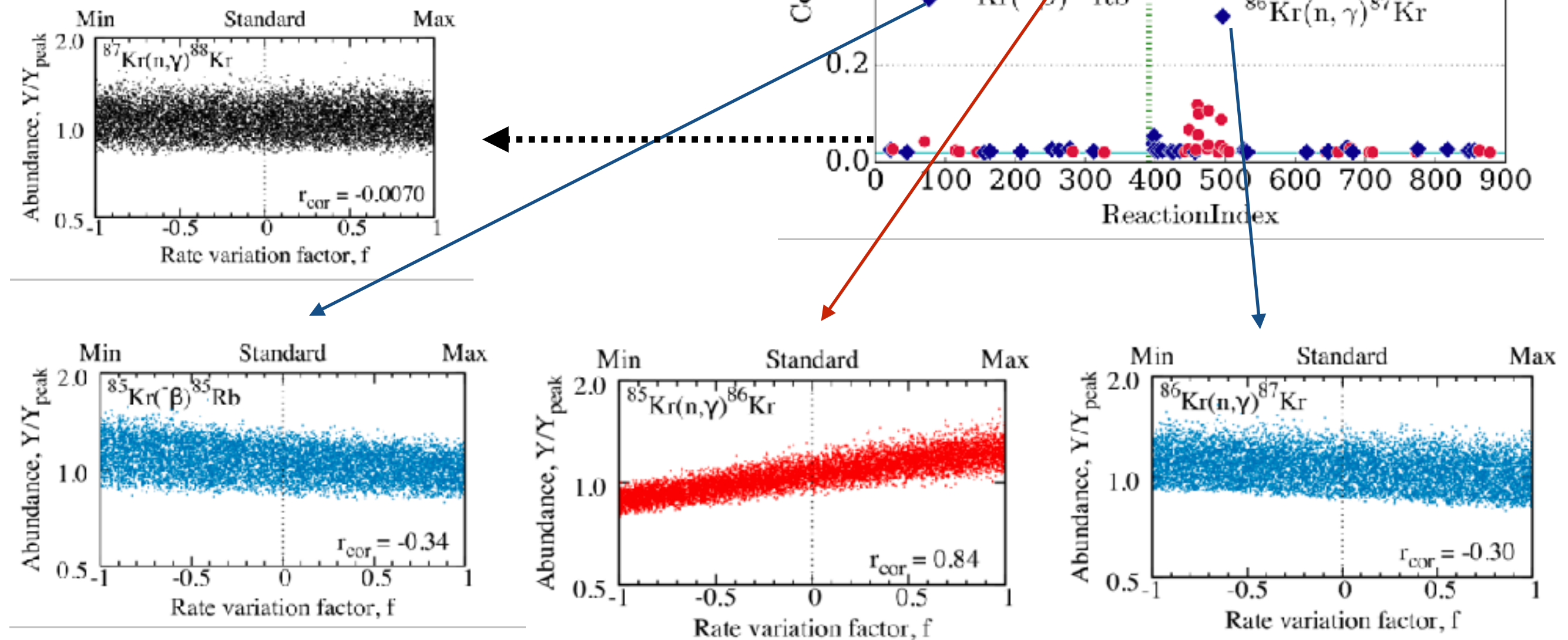
相関係数による選別

※例はsプロセス

Pearson's coefficient

$$r_{\text{Pearson}} = \frac{\sum_{i=1}^k (\tilde{x}_i - \bar{x})(\tilde{y}_i - \bar{y})}{\sqrt{\sum_{i=1}^k (\tilde{x}_i - \bar{x})^2} \sqrt{\sum_{i=1}^k (\tilde{y}_i - \bar{y})^2}}$$

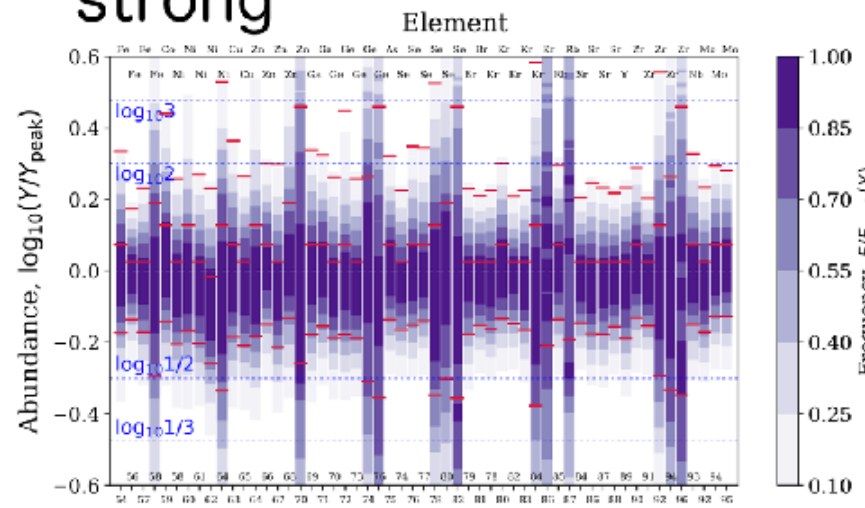
$|r| > 0.65 \rightarrow \text{"strong"}$



重要な反応の探索

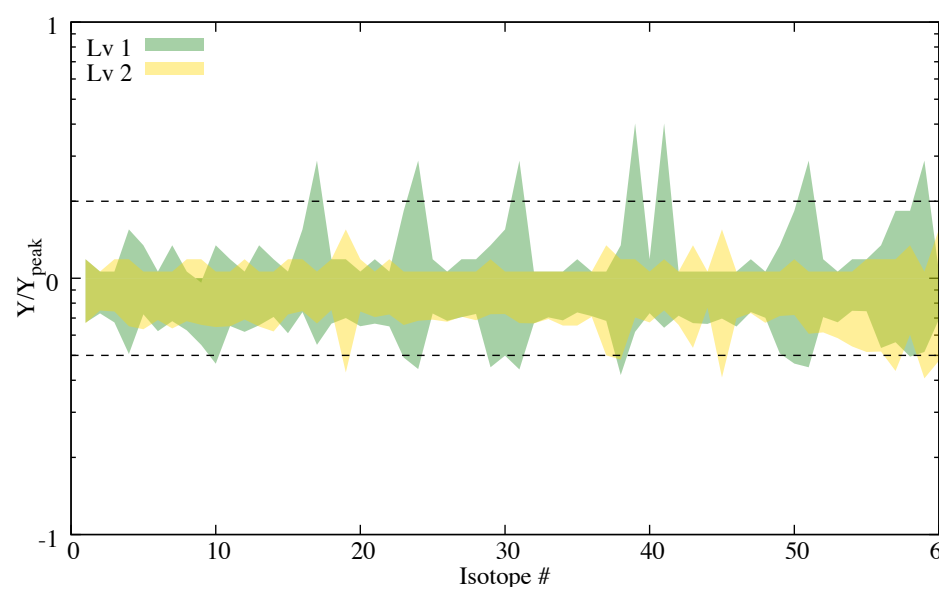
strong (Lv1)

strong



Lv1 → Lv2

$|r| > 0.65$ を除外



Nuclide	Reaction	$r_{\text{cor}}(\text{Weak})$	$r_{\text{cor}}(\text{Medium})$	$r_{\text{cor}}(\text{Strong})$
^{56}Fe	$^{57}\text{Co} + \text{p} \leftrightarrow \text{n} + ^{57}\text{Ni}$	0.67 (Lv3)		
^{56}Fe	$^{56}\text{Ni} + \alpha \leftrightarrow \text{p} + ^{59}\text{Cu}$		0.66 (Lv2)	
^{57}Fe	$^{57}\text{Ni} + \text{p} \leftrightarrow \gamma + ^{58}\text{Cu}$	-0.73 (Lv2)	-0.70 (Lv3)	
^{59}Co	$^{59}\text{Zn} + \text{p} \leftrightarrow \text{e} + ^{59}\text{Cu}$	-0.90 (Lv3)		
^{59}Co	$^{59}\text{Cu} + \text{p} \leftrightarrow \gamma + ^{60}\text{Zn}$	-0.73 (Lv2)	-0.81 (Lv3)	
^{59}Co	$^{59}\text{Cu} + \text{p} \leftrightarrow \text{n} + ^{59}\text{Zn}$	-0.67 (Lv1)		
^{58}Ni	$^{58}\text{Cu} + \text{p} \leftrightarrow \gamma + ^{59}\text{Zn}$	-0.77 (Lv1)	-0.68 (Lv1)	
^{60}Ni	$^{57}\text{Co} + \text{p} \leftrightarrow \text{n} + ^{57}\text{Ni}$	-0.70 (Lv3)		
^{60}Ni	$^{59}\text{Cu} + \text{p} \leftrightarrow \text{n} + ^{59}\text{Zn}$		-0.78 (Lv2)	
^{60}Ni	$^{60}\text{Cu} + \text{p} \leftrightarrow \text{n} + ^{60}\text{Zn}$	-0.88 (Lv1)	-0.86 (Lv1)	-0.78 (Lv1)
^{61}Ni	$^{60}\text{Cu} + \text{p} \leftrightarrow \gamma + ^{61}\text{Zn}$	0.68 (Lv2)		
^{61}Ni	$^{61}\text{Zn} + \text{p} \leftrightarrow \gamma + ^{62}\text{Ga}$	-0.77 (Lv1)	-0.71 (Lv2)	
^{62}Ni	$^{62}\text{Zn} + \text{p} \leftrightarrow \gamma + ^{63}\text{Ga}$		-0.70 (Lv3)	
^{63}Cu	$^{63}\text{Ga} + \text{p} \leftrightarrow \gamma + ^{64}\text{Ge}$	-0.74 (Lv2)		
^{63}Cu	$^{63}\text{Ga} + \text{p} \leftrightarrow \text{n} + ^{63}\text{Ge}$		-0.65 (Lv1)	
^{64}Zn	$^{64}\text{Ga} + \text{p} \leftrightarrow \text{n} + ^{64}\text{Ge}$	-0.75 (Lv1)	-0.86 (Lv1)	-0.75 (Lv1)
^{67}Zn	$^{67}\text{As} + \text{p} \leftrightarrow \gamma + ^{68}\text{Se}$	-0.75 (Lv2)	-0.67 (Lv1)	
^{68}Zn	$^{68}\text{As} + \text{p} \leftrightarrow \text{n} + ^{68}\text{Se}$	-0.83 (Lv2)	-0.84 (Lv1)	-0.75 (Lv1)
^{69}Ga	$^{69}\text{Se} + \text{p} \leftrightarrow \gamma + ^{70}\text{Br}$	-0.75 (Lv3)		
^{71}Ga	$^{71}\text{Br} + \text{p} \leftrightarrow \gamma + ^{72}\text{Kr}$	-0.71 (Lv3)	-0.67 (Lv3)	
^{70}Ge	$^{70}\text{Se} + \text{p} \leftrightarrow \gamma + ^{71}\text{Br}$	-0.65 (Lv3)	-0.66 (Lv1)	-0.65 (Lv2)
^{72}Ge	$^{72}\text{Br} + \text{p} \leftrightarrow \text{n} + ^{72}\text{Kr}$	-0.69 (Lv3)	-0.78 (Lv1)	-0.66 (Lv1)
^{73}Ge	$^{73}\text{Kr} + \text{p} \leftrightarrow \gamma + ^{74}\text{Rb}$		-0.65 (Lv3)	
^{75}As	$^{75}\text{Rb} + \text{p} \leftrightarrow \text{n} + ^{75}\text{Sr}$		-0.68 (Lv1)	
^{74}Se	$^{74}\text{Kr} + \text{p} \leftrightarrow \gamma + ^{75}\text{Rb}$		-0.70 (Lv2)	
^{76}Se	$^{76}\text{Rb} + \text{p} \leftrightarrow \text{n} + ^{76}\text{Sr}$		-0.74 (Lv1)	
^{77}Se	$^{77}\text{Rb} + \text{p} \leftrightarrow \text{n} + ^{77}\text{Sr}$		-0.75 (Lv1)	
^{78}Kr	$^{78}\text{Sr} + \text{p} \leftrightarrow \gamma + ^{79}\text{Y}$		-0.65 (Lv2)	
^{80}Kr	$^{80}\text{Sr} + \text{n} \leftrightarrow \gamma + ^{81}\text{Sr}$			-0.65 (Lv2)
^{80}Kr	$^{80}\text{Y} + \text{p} \leftrightarrow \text{n} + ^{80}\text{Zr}$		-0.66 (Lv3)	
^{85}Rb	$^{85}\text{Nb} + \text{p} \leftrightarrow \text{n} + ^{85}\text{Mo}$		-0.65 (Lv3)	
^{94}Mo	$^{94}\text{Ru} + \text{p} \leftrightarrow \gamma + ^{95}\text{Rh}$			-0.65 (Lv3)
^{97}Tc	$^{97}\text{Rh} + \text{n} \leftrightarrow \gamma + ^{98}\text{Rh}$			-0.70 (Lv1)

重要反応リスト（全） 1

Nucleus	Reaction	#01	#02	#03	#04	#05	#06
^{56}Fe	$^{57}\text{Co} + \text{p} \leftrightarrow \text{n} + ^{57}\text{Ni}$					0.67 (Lv3)	
^{56}Fe	$^{56}\text{Ni} + \alpha \leftrightarrow \text{p} + ^{59}\text{Cu}$				0.78 (Lv3)		
^{57}Fe	$^{56}\text{Ni} + \text{p} \leftrightarrow \gamma + ^{57}\text{Cu}$	0.65 (Lv3)					
^{57}Fe	$^{57}\text{Ni} + \text{p} \leftrightarrow \gamma + ^{58}\text{Cu}$	-0.67 (Lv3)	-0.65 (Lv1)	-0.75 (Lv2)	-0.74 (Lv2)	-0.73 (Lv2)	-0.65 (Lv1)
^{59}Co	$^{59}\text{Zn} + \text{e}^+ \leftrightarrow ^{59}\text{Cu}$	-0.94 (Lv3)				-0.92 (Lv3)	-0.90 (Lv3)
^{59}Co	$^{59}\text{Cu} + \text{p} \leftrightarrow \gamma + ^{60}\text{Zn}$				-0.70 (Lv2)	-0.73 (Lv2)	-0.75 (Lv2)
^{59}Co	$^{59}\text{Cu} + \text{p} \leftrightarrow \text{n} + ^{59}\text{Zn}$				-0.67 (Lv1)	-0.67 (Lv1)	-0.68 (Lv1)
^{58}Ni	$^{58}\text{Zn} + \text{e}^+ \leftrightarrow ^{58}\text{Cu}$	-0.72 (Lv3)	-0.69 (Lv3)				
^{58}Ni	$^{57}\text{Cu} + \text{p} \leftrightarrow \gamma + ^{58}\text{Zn}$	0.69 (Lv2)	0.69 (Lv2)				
^{58}Ni	$^{58}\text{Cu} + \text{p} \leftrightarrow \gamma + ^{59}\text{Zn}$	-0.67 (Lv1)	-0.75 (Lv1)	-0.79 (Lv1)	-0.78 (Lv1)	-0.77 (Lv1)	-0.77 (Lv1)
^{60}Ni	$^{59}\text{Cu} + \text{p} \leftrightarrow \gamma + ^{60}\text{Zn}$	0.67 (Lv2)					
^{60}Ni	$^{57}\text{Co} + \text{p} \leftrightarrow \text{n} + ^{57}\text{Ni}$		-0.65 (Lv3)	-0.68 (Lv2)	-0.66 (Lv2)	-0.70 (Lv3)	
^{60}Ni	$^{56}\text{Ni} + \alpha \leftrightarrow \text{p} + ^{59}\text{Cu}$				-0.66 (Lv3)		
^{60}Ni	$^{60}\text{Cu} + \text{p} \leftrightarrow \text{n} + ^{60}\text{Zn}$		-0.74 (Lv1)	-0.83 (Lv1)	-0.87 (Lv1)	-0.88 (Lv1)	-0.88 (Lv1)
^{61}Ni	$^{60}\text{Cu} + \text{p} \leftrightarrow \gamma + ^{61}\text{Zn}$	0.78 (Lv3)	0.75 (Lv2)	0.72 (Lv2)	0.69 (Lv2)	0.68 (Lv2)	0.66 (Lv2)
^{61}Ni	$^{60}\text{Zn} + \text{p} \leftrightarrow \gamma + ^{61}\text{Ga}$	0.67 (Lv2)					
^{61}Ni	$^{61}\text{Zn} + \text{p} \leftrightarrow \gamma + ^{62}\text{Ga}$	-0.65 (Lv1)	-0.74 (Lv1)	-0.78 (Lv1)	-0.77 (Lv1)	-0.77 (Lv1)	-0.77 (Lv1)
^{62}Ni	$^{62}\text{Zn} + \text{p} \leftrightarrow \gamma + ^{63}\text{Ga}$	-0.80 (Lv3)	-0.87 (Lv3)	-0.90 (Lv3)	-0.65 (Lv3)		-0.66 (Lv3)
^{62}Ni	$^{62}\text{Ga} + \text{p} \leftrightarrow \gamma + ^{63}\text{Ge}$	-0.71 (Lv2)	-0.69 (Lv2)	-0.65 (Lv2)	-0.66 (Lv3)		
^{63}Cu	$^{63}\text{Ge} + \text{e}^- \leftrightarrow ^{63}\text{Ga}$	-0.82 (Lv3)	-0.75 (Lv3)				
^{63}Cu	$^{63}\text{Ga} + \text{p} \leftrightarrow \gamma + ^{64}\text{Ge}$	-0.71 (Lv2)	-0.71 (Lv2)				
^{63}Cu	$^{60}\text{Cu} + \text{p} \leftrightarrow \text{n} + ^{60}\text{Zn}$	0.73 (Lv1)	0.67 (Lv1)				
^{64}Zn	$^{60}\text{Cu} + \text{p} \leftrightarrow \text{n} + ^{60}\text{Zn}$	0.90 (Lv1)	0.88 (Lv1)	0.69 (Lv1)			
^{64}Zn	$^{64}\text{Ga} + \text{p} \leftrightarrow \text{n} + ^{64}\text{Ge}$				-0.69 (Lv1)	-0.75 (Lv1)	-0.79 (Lv1)
^{67}Zn	$^{67}\text{As} + \text{p} \leftrightarrow \gamma + ^{68}\text{Se}$	-0.69 (Lv2)	-0.72 (Lv2)	-0.78 (Lv2)	-0.77 (Lv2)	-0.75 (Lv2)	-0.65 (Lv1)
^{68}Zn	$^{64}\text{Ga} + \text{p} \leftrightarrow \text{n} + ^{64}\text{Ge}$	0.77 (Lv1)	0.74 (Lv1)	0.73 (Lv1)			
^{68}Zn	$^{68}\text{As} + \text{p} \leftrightarrow \text{n} + ^{68}\text{Se}$				-0.78 (Lv2)	-0.83 (Lv2)	-0.70 (Lv1)
^{69}Ga	$^{69}\text{Se} + \text{p} \leftrightarrow \gamma + ^{70}\text{Br}$			-0.68 (Lv3)	-0.74 (Lv3)	-0.75 (Lv3)	-0.73 (Lv2)
^{69}Ga	$^{68}\text{As} + \text{p} \leftrightarrow \text{n} + ^{68}\text{Se}$	0.67 (Lv2)	0.65 (Lv3)	0.65 (Lv2)			
^{71}Ga	$^{71}\text{Br} + \text{p} \leftrightarrow \gamma + ^{72}\text{Kr}$				-0.70 (Lv3)	-0.71 (Lv3)	-0.73 (Lv2)
^{71}Ga	$^{68}\text{As} + \text{p} \leftrightarrow \text{n} + ^{68}\text{Se}$	0.66 (Lv2)					
^{70}Ge	$^{70}\text{Se} + \text{p} \leftrightarrow \gamma + ^{71}\text{Br}$					-0.65 (Lv3)	-0.68 (Lv2)
^{70}Ge	$^{70}\text{Br} + \text{p} \leftrightarrow \gamma + ^{71}\text{Kr}$						-0.71 (Lv3)
^{72}Ge	$^{68}\text{As} + \text{p} \leftrightarrow \text{n} + ^{68}\text{Se}$	0.77 (Lv2)					
^{72}Ge	$^{72}\text{Br} + \text{p} \leftrightarrow \text{n} + ^{72}\text{Kr}$					-0.69 (Lv3)	-0.77 (Lv2)
^{73}Ge	$^{73}\text{Kr} + \text{p} \leftrightarrow \gamma + ^{74}\text{Rb}$						-0.68 (Lv3)
^{75}As	$^{72}\text{Br} + \text{p} \leftrightarrow \text{n} + ^{72}\text{Kr}$	0.67 (Lv3)					
^{75}As	$^{75}\text{Rb} + \text{p} \leftrightarrow \text{n} + ^{75}\text{Sr}$						-0.67 (Lv3)

重要反応リスト（全）2

Nucleus	Reaction	#07	#08	#09	#10	#11	#12
^{56}Fe	$^{59}\text{Cu} + \text{p} \leftrightarrow \gamma + ^{60}\text{Zn}$						-0.65 (Lv3)
^{56}Fe	$^{56}\text{Ni} + \alpha \leftrightarrow \text{p} + ^{59}\text{Cu}$	0.66 (Lv3)	0.69 (Lv3)	0.66 (Lv3)	0.66 (Lv2)	0.67 (Lv2)	0.68 (Lv2)
^{57}Fe	$^{57}\text{Ni} + \text{p} \leftrightarrow \gamma + ^{58}\text{Cu}$	-0.66 (Lv1)	-0.65 (Lv1)	-0.66 (Lv2)	-0.70 (Lv3)	-0.70 (Lv3)	-0.69 (Lv3)
^{59}Co	$^{59}\text{Zn} + \text{e}^+ \leftrightarrow ^{59}\text{Cu}$	-0.83 (Lv3)	-0.76 (Lv3)				
^{59}Co	$^{59}\text{Cu} + \text{p} \leftrightarrow \gamma + ^{60}\text{Zn}$	-0.77 (Lv2)	-0.77 (Lv2)	-0.78 (Lv3)	-0.81 (Lv3)	-0.81 (Lv3)	-0.80 (Lv3)
^{59}Co	$^{59}\text{Cu} + \text{p} \leftrightarrow \text{n} + ^{59}\text{Zn}$	-0.67 (Lv1)	-0.66 (Lv1)	-0.66 (Lv2)			
^{58}Ni	$^{58}\text{Cu} + \text{p} \leftrightarrow \gamma + ^{59}\text{Zn}$	-0.75 (Lv1)	-0.74 (Lv1)	-0.71 (Lv1)	-0.68 (Lv1)	-0.70 (Lv3)	-0.66 (Lv3)
^{60}Ni	$^{59}\text{Cu} + \text{p} \leftrightarrow \text{n} + ^{59}\text{Zn}$			-0.75 (Lv2)	-0.78 (Lv2)	-0.74 (Lv2)	-0.68 (Lv2)
^{60}Ni	$^{60}\text{Cu} + \text{p} \leftrightarrow \text{n} + ^{60}\text{Zn}$	-0.88 (Lv1)	-0.88 (Lv1)	-0.87 (Lv1)	-0.86 (Lv1)	-0.85 (Lv1)	-0.84 (Lv1)
^{61}Ni	$^{60}\text{Cu} + \text{p} \leftrightarrow \gamma + ^{61}\text{Zn}$	0.66 (Lv2)	0.66 (Lv2)				
^{61}Ni	$^{61}\text{Zn} + \text{p} \leftrightarrow \gamma + ^{62}\text{Ga}$	-0.75 (Lv1)	-0.72 (Lv1)	-0.69 (Lv1)	-0.71 (Lv2)	-0.67 (Lv2)	-0.65 (Lv2)
^{62}Ni	$^{62}\text{Zn} + \text{p} \leftrightarrow \gamma + ^{63}\text{Ga}$	-0.67 (Lv2)	-0.68 (Lv2)	-0.69 (Lv3)	-0.70 (Lv3)	-0.70 (Lv3)	-0.69 (Lv3)
^{62}Ni	$^{62}\text{Ga} + \text{p} \leftrightarrow \gamma + ^{63}\text{Ge}$	-0.81 (Lv3)	-0.80 (Lv3)				
^{63}Cu	$^{63}\text{Ga} + \text{p} \leftrightarrow \gamma + ^{64}\text{Ge}$			-0.77 (Lv3)	-0.74 (Lv2)	-0.77 (Lv3)	-0.75 (Lv3)
^{63}Cu	$^{63}\text{Ga} + \text{p} \leftrightarrow \text{n} + ^{63}\text{Ge}$		-0.65 (Lv3)	-0.67 (Lv2)	-0.65 (Lv1)	-0.67 (Lv2)	-0.65 (Lv2)
^{64}Zn	$^{63}\text{Ga} + \text{p} \leftrightarrow \text{n} + ^{63}\text{Ge}$						-0.65 (Lv2)
^{64}Zn	$^{64}\text{Ga} + \text{p} \leftrightarrow \text{n} + ^{64}\text{Ge}$	-0.82 (Lv1)	-0.84 (Lv1)	-0.86 (Lv1)	-0.86 (Lv1)	-0.85 (Lv1)	-0.85 (Lv1)
^{67}Zn	$^{67}\text{As} + \text{p} \leftrightarrow \gamma + ^{68}\text{Se}$	-0.66 (Lv1)	-0.66 (Lv1)	-0.67 (Lv1)	-0.67 (Lv1)	-0.66 (Lv1)	-0.67 (Lv3)
^{68}Zn	$^{68}\text{As} + \text{p} \leftrightarrow \text{n} + ^{68}\text{Se}$	-0.76 (Lv1)	-0.80 (Lv1)	-0.82 (Lv1)	-0.84 (Lv1)	-0.85 (Lv1)	-0.84 (Lv1)
^{69}Ga	$^{69}\text{Se} + \text{p} \leftrightarrow \gamma + ^{70}\text{Br}$	-0.71 (Lv2)	-0.68 (Lv2)				
^{71}Ga	$^{71}\text{Br} + \text{p} \leftrightarrow \gamma + ^{72}\text{Kr}$	-0.72 (Lv2)	-0.68 (Lv2)	-0.67 (Lv2)	-0.67 (Lv3)		
^{70}Ge	$^{70}\text{Se} + \text{p} \leftrightarrow \gamma + ^{71}\text{Br}$	-0.69 (Lv2)	-0.69 (Lv2)	-0.65 (Lv1)	-0.66 (Lv1)	-0.68 (Lv1)	-0.70 (Lv1)
^{70}Ge	$^{70}\text{Br} + \text{p} \leftrightarrow \gamma + ^{71}\text{Kr}$	-0.71 (Lv3)	-0.67 (Lv3)				
^{72}Ge	$^{72}\text{Br} + \text{p} \leftrightarrow \text{n} + ^{72}\text{Kr}$	-0.66 (Lv1)	-0.73 (Lv1)	-0.77 (Lv1)	-0.78 (Lv1)	-0.79 (Lv1)	-0.79 (Lv1)
^{73}Ge	$^{73}\text{Kr} + \text{p} \leftrightarrow \gamma + ^{74}\text{Rb}$	-0.68 (Lv2)	-0.69 (Lv2)	-0.65 (Lv2)	-0.65 (Lv3)		
^{75}As	$^{75}\text{Rb} + \text{p} \leftrightarrow \text{n} + ^{75}\text{Sr}$	-0.72 (Lv2)	-0.75 (Lv2)	-0.67 (Lv1)	-0.68 (Lv1)	-0.67 (Lv1)	-0.65 (Lv1)
^{74}Se	$^{74}\text{Kr} + \text{p} \leftrightarrow \gamma + ^{75}\text{Rb}$	-0.67 (Lv2)	-0.70 (Lv2)	-0.70 (Lv2)	-0.70 (Lv2)	-0.66 (Lv2)	-0.67 (Lv3)
^{76}Se	$^{76}\text{Rb} + \text{p} \leftrightarrow \text{n} + ^{76}\text{Sr}$	-0.72 (Lv2)	-0.67 (Lv1)	-0.72 (Lv1)	-0.74 (Lv1)	-0.73 (Lv1)	-0.71 (Lv1)
^{77}Se	$^{77}\text{Rb} + \text{p} \leftrightarrow \text{n} + ^{77}\text{Sr}$	-0.69 (Lv3)	-0.75 (Lv2)	-0.72 (Lv1)	-0.75 (Lv1)	-0.74 (Lv1)	-0.71 (Lv1)
^{78}Kr	$^{78}\text{Sr} + \text{p} \leftrightarrow \gamma + ^{79}\text{Y}$			-0.66 (Lv3)	-0.65 (Lv2)		
^{80}Kr	$^{80}\text{Y} + \text{p} \leftrightarrow \text{n} + ^{80}\text{Zr}$				-0.66 (Lv3)		
^{85}Rb	$^{85}\text{Nb} + \text{p} \leftrightarrow \text{n} + ^{85}\text{Mo}$				-0.65 (Lv3)	-0.67 (Lv2)	-0.65 (Lv3)
^{86}Sr	$^{86}\text{Nb} + \text{p} \leftrightarrow \text{n} + ^{86}\text{Mo}$					-0.66 (Lv3)	

重要反応リスト（全）3

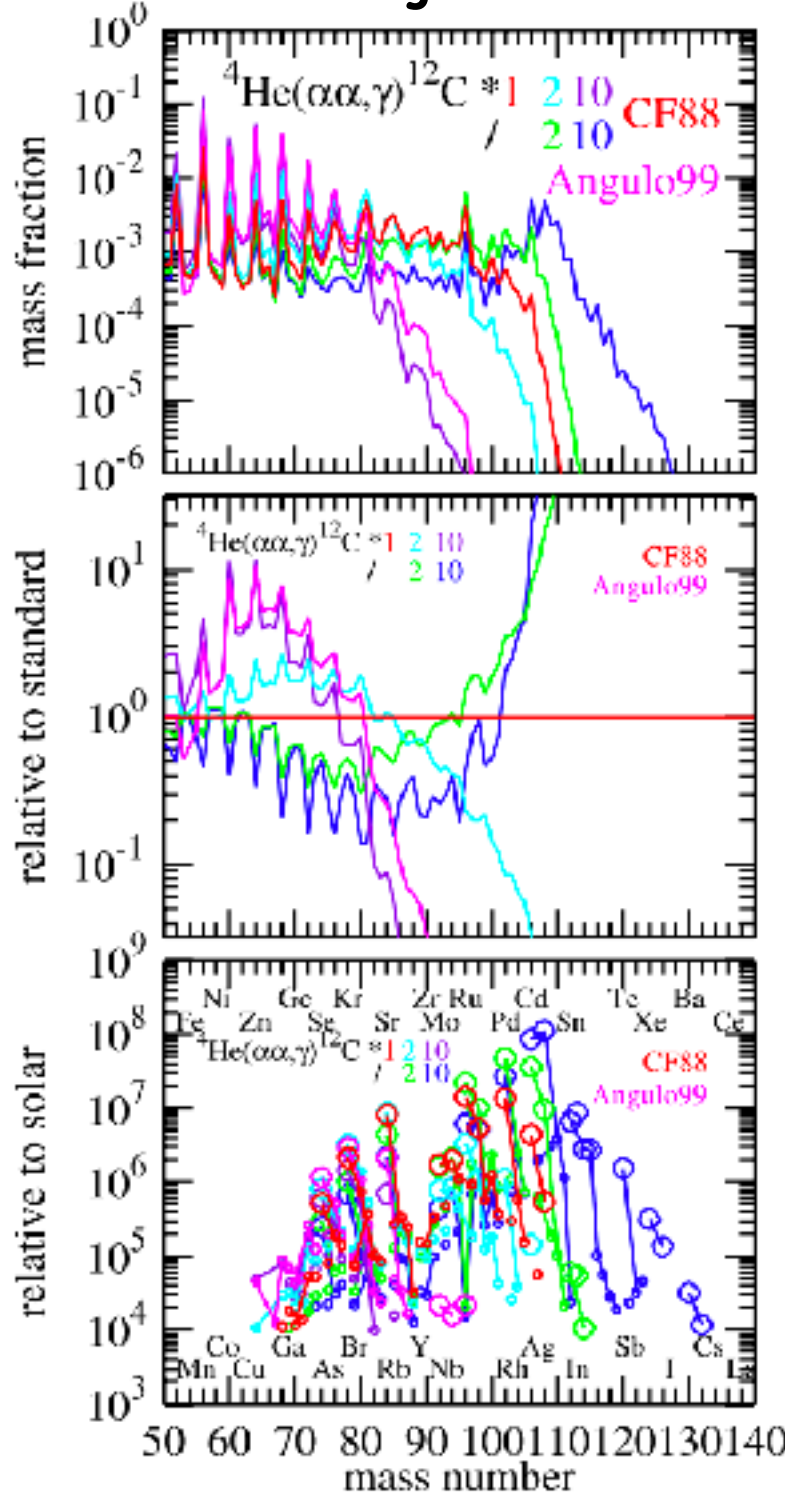
Nucleus	Reaction	#13	#14	#15	#16	#17	#18
^{56}Fe	$^{59}\text{Cu} + \text{p} \leftrightarrow \gamma + ^{60}\text{Zn}$	-0.65 (Lv3)					
^{56}Fe	$^{56}\text{Ni} + \alpha \leftrightarrow \text{p} + ^{59}\text{Cu}$	0.67 (Lv2)	0.65 (Lv2)				
^{57}Fe	$^{57}\text{Ni} + \text{p} \leftrightarrow \gamma + ^{58}\text{Cu}$	-0.66 (Lv3)					
^{60}Ni	$^{59}\text{Cu} + \text{p} \leftrightarrow \text{n} + ^{59}\text{Zn}$	-0.66 (Lv3)					
^{60}Ni	$^{60}\text{Cu} + \text{p} \leftrightarrow \text{n} + ^{60}\text{Zn}$	-0.82 (Lv1)	-0.81 (Lv1)	-0.78 (Lv1)	-0.75 (Lv1)	-0.69 (Lv1)	
^{64}Zn	$^{64}\text{Ga} + \text{p} \leftrightarrow \text{n} + ^{64}\text{Ge}$	-0.83 (Lv1)	-0.80 (Lv1)	-0.75 (Lv1)	-0.70 (Lv1)		
^{68}Zn	$^{68}\text{As} + \text{p} \leftrightarrow \text{n} + ^{68}\text{Se}$	-0.84 (Lv1)	-0.81 (Lv1)	-0.75 (Lv1)	-0.68 (Lv1)		
^{70}Ge	$^{70}\text{Se} + \text{p} \leftrightarrow \gamma + ^{71}\text{Br}$	-0.70 (Lv1)	-0.68 (Lv1)	-0.65 (Lv2)			
^{72}Ge	$^{72}\text{Br} + \text{p} \leftrightarrow \text{n} + ^{72}\text{Kr}$	-0.78 (Lv1)	-0.75 (Lv1)	-0.66 (Lv1)			
^{76}Se	$^{76}\text{Rb} + \text{p} \leftrightarrow \text{n} + ^{76}\text{Sr}$	-0.68 (Lv1)					
^{77}Se	$^{77}\text{Rb} + \text{p} \leftrightarrow \text{n} + ^{77}\text{Sr}$	-0.69 (Lv1)	-0.65 (Lv1)				
^{80}Kr	$^{80}\text{Sr} + \text{n} \leftrightarrow \gamma + ^{81}\text{Sr}$			-0.65 (Lv2)			
^{93}Nb	$^{93}\text{Tc} + \text{n} \leftrightarrow \gamma + ^{94}\text{Tc}$				-0.67 (Lv2)		
^{93}Nb	$^{93}\text{Tc} + \text{p} \leftrightarrow \gamma + ^{94}\text{Ru}$				-0.70 (Lv3)		
^{92}Mo	$^{92}\text{Mo} + \text{p} \leftrightarrow \gamma + ^{93}\text{Tc}$				-0.73 (Lv1)	-0.71 (Lv1)	
^{94}Mo	$^{94}\text{Ru} + \text{p} \leftrightarrow \gamma + ^{95}\text{Rh}$		-0.65 (Lv2)	-0.65 (Lv3)	-0.66 (Lv1)		
^{97}Tc	$^{97}\text{Rh} + \text{n} \leftrightarrow \gamma + ^{98}\text{Rh}$			-0.70 (Lv1)	-0.66 (Lv1)		
^{99}Ru	$^{99}\text{Rh} + \text{n} \leftrightarrow \gamma + ^{100}\text{Rh}$				-0.65 (Lv3)		
^{100}Ru	$^{100}\text{Pd} + \text{n} \leftrightarrow \gamma + ^{101}\text{Pd}$				-0.66 (Lv2)	-0.68 (Lv1)	
^{113}In	$^{113}\text{In} + \text{n} \leftrightarrow \gamma + ^{114}\text{In}$					-0.67 (Lv1)	
^{117}Sn	$^{117}\text{In} + \text{n} \leftrightarrow \gamma + ^{118}\text{In}$						-0.74 (Lv1)

ひとまずは、（初の）重要反応リストができた
 → 今後も反応率の不定性、天体モデルの両者を
 洗練させてアップデートしたい

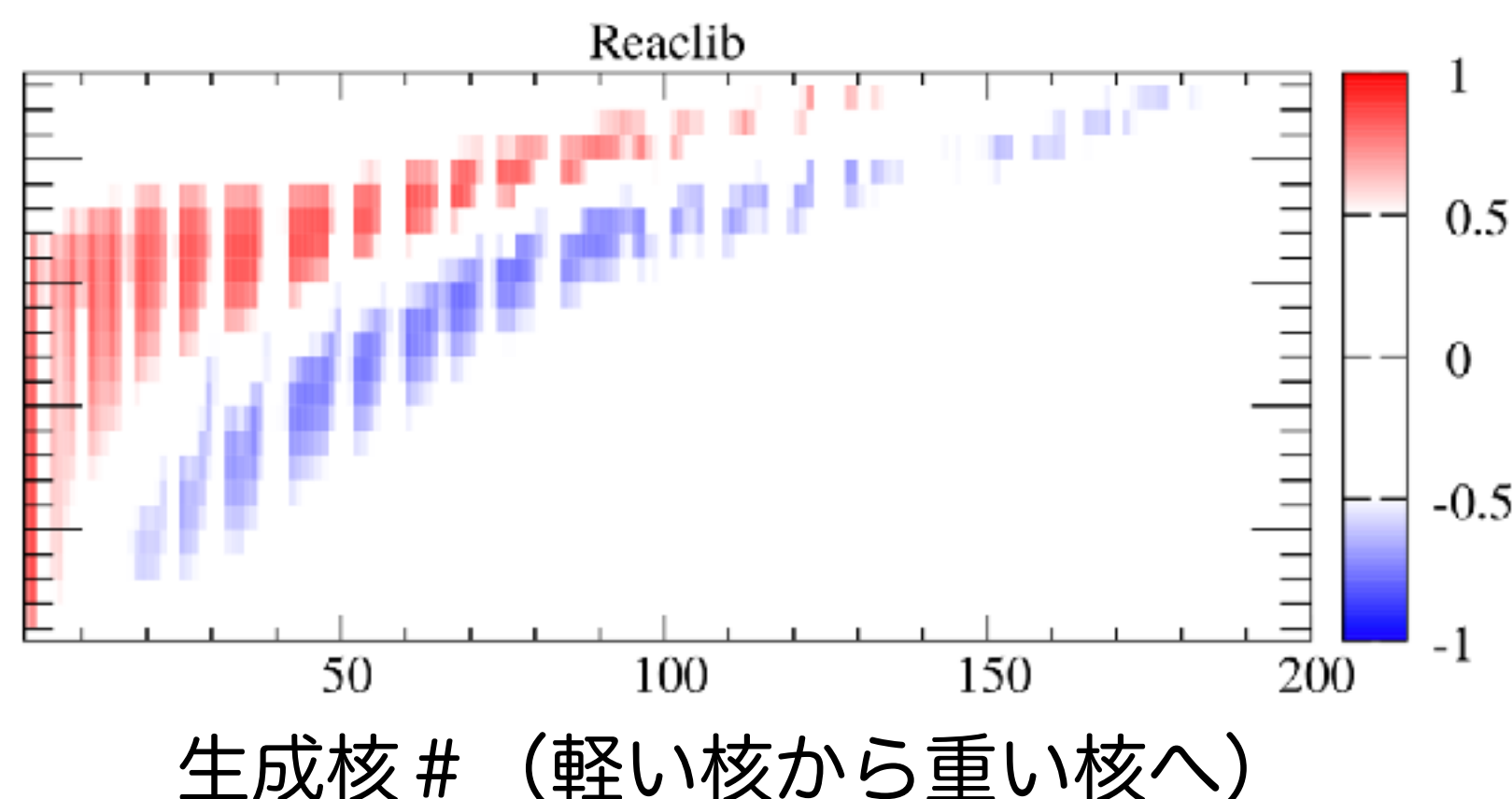
トリプル α 反応のインパクト

種核生成の起点 (核子 $\rightarrow A > 12$ 核へ)

Wanajo+2012

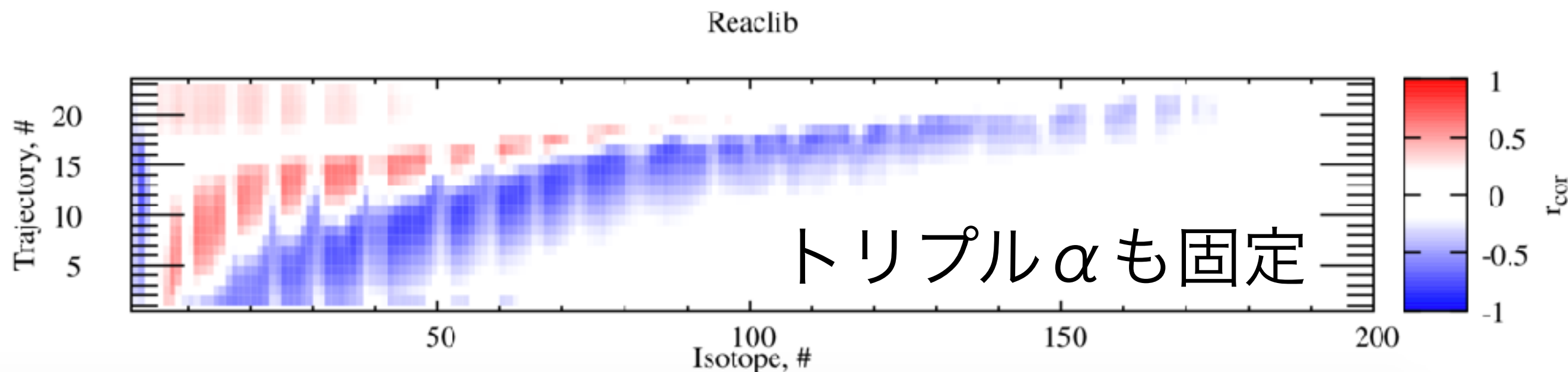
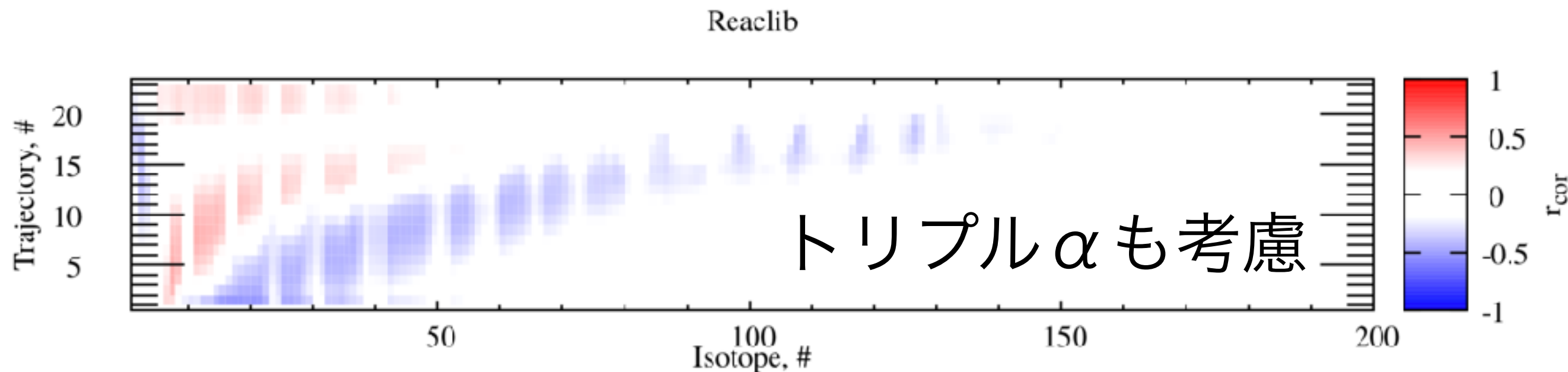


モンテカルロ計算と解析による
相関係数 r_{cor} ($|r| > 0.65$ が重要)



56Ni(n,p)56Coのインパクト

モンテカルロ計算と解析による
相関係数 r_{cor} ($|r|>0.65$ が重要)



まとめ

- ・典型的な νp プロセスの天体モデルを構築
 - ・超新星中心部のejectaで起こりうる様々な νp プロセスパターンを再現する。
- ・核反応の不定性
 - ・種核生成 ($A >= 12$) :
トリプル α , $^{56}\text{Ni}(n,p)^{56}\text{Co}$ など (“既知”の重要反応) のインパクトを確認
→ 以下、種核生成に対する不定性は無視
 - ・ νp プロセス生成核 ($A >= 56$) :
 - ・核反応に由来する元素合成の不定性を評価
 - ・「今後改善すべき」反応・崩壊率のリストを作成
→ 元素合成のメインパス上の $(n,p)/(g,p)$ が重要

今後の課題

- 核反応の不定性の取り扱いを洗練
 - より現実的な元素合成の不定性評価
 - 重要反応リストの更新
- 元素合成から超新星モデルへ？
 - 現実的なモデル (Y_e とS分布) での νp プロセス
 - 超新星モデルの不定性 vs 核反応の不定性
 - νp プロセスから超新星の物理への「制限」？？